

**SLOVENSKÁ TECHNICKÁ UNIVERZITA V BRATISLAVE**  
**FAKULTA CHEMICKÉJ A POTRAVINÁRSKEJ**  
**TECHNOLÓGIE**

Evidenčné číslo: FCHPT-5414-76933

# **Metódy dvojúrovňovej optimalizácie**

**DIPLOMOVÁ PRÁCA**

**2019**

**Bc. Daniel Boroš**



**SLOVENSKÁ TECHNICKÁ UNIVERZITA V BRATISLAVE**  
**FAKULTA CHEMICKEJ A POTRAVINÁRSKEJ**  
**TECHNOLÓGIE**

Evidenčné číslo: FCHPT-5414-76933

# **Metódy dvojúrovňovej optimalizácie**

**DIPLOMOVÁ PRÁCA**

Študijný program: automatizácia a informatizácia v chémii a potravinárstve  
Študijný odbor: 5.2.14. Automatizácia  
Školiace pracovisko: Ústav informatizácie, automatizácie a matematiky  
Vedúci práce: doc. Ing. Radoslav Paulen, PhD.

**2019**

**Bc. Daniel Boroš**





## ZADANIE DIPLOMOVEJ PRÁCE

Študent: **Bc. Daniel Boroš**  
ID študenta: 76933  
Študijný program: automatizácia a informatizácia v chémii a potravinárstve  
Študijný odbor: 5.2.14. automatizácia  
Vedúci práce: doc. Ing. Radoslav Paulen, PhD.

Názov práce: **Metódy dvojúrovňovej optimalizácie**

Jazyk, v ktorom sa práca vypracuje: slovenský jazyk

Špecifikácia zadania:

Dvojúrovňová optimalizácia predstavuje dôležitú triedu optimalizačných problémov širokovyužitelných pre potreby moderného riadenia procesov. Vo všeobecnosti je však tento problém náročný na riešenie. Cieľom projektu je skúmať výpočtové metódy pre špeciálny prípad dvojúrovňovej optimalizácie, tzv. min-max optimalizácie. Vyvinuté metódy budú aplikované na príkladoch návrhu optimálnych experimentov.

Zoznam odbornej literatúry:

1. Mitsos, A. & Tsoukalas, A. J Glob Optim (2015) 61: 1. <https://doi.org/10.1007/s10898-014-0146-6>

Riešenie zadania práce od: 11. 02. 2019

Dátum odovzdania práce: 12. 05. 2019

**Bc. Daniel Boroš**  
študent

**doc. Ing. Michal Kvasnica, PhD.**  
vedúci pracoviska

**prof. Ing. Miroslav Fikar, DrSc.**  
garant študijného programu



# Podakovanie

Ďakujem môjmu vedúcemu diplomovej práce doc. Ing. Radoslavovi Paulenovi, PhD. za ochotu, pomoc, odborné vedenie a cenné rady. Rovnako ďakujem všetkým pracovníkom katedry informatizácie a riadenia procesov za ich ochotu a pomoc.





# Abstract

Aim of this master thesis is to provide the reader with theoretical basis and resources for solving certain types of bi-level optimization problems as, for example, the problem of optimal design of experiment. In this thesis are implemented methods based on Karush-Kuhn-Tucker optimality conditions, Blankenship-Falk's and Mitsos-Tsoukalas' algorithms. Functions used to solve these problems were created in MATLAB environment with the use of global solver BARON and are available as a toolbox for MATLAB. Optimal design of experiments is achieved by appropriate excitation of system using available inputs. Prepared functions are able to design optimal experiment based on A-design criteria for nonlinear static and discrete-time models. For solving optimal design of experiments problems, two strategies are prepared. First one is based on Karush-Kuhn-Tucker optimality conditions and is suitable mostly for linear systems. Second strategy employs Mitsos-Tsoukalas algorithms, which is able to solve even problems based on nonlinear models. Thesis also deals with solving more generalized types of bi-level problems for which three strategies are available, application of Karush-Kuhn-Tucker optimality conditions, Blankenship-Falk's algorithm and Mitsos-Tsoukalas' algorithm. In conclusion review of used methods is given.

**keywords:** bi-level optimization problems, Blankenship-Falks algorithm, Mitsos-Tsoukalas algorithm, optimal design of experiments



# Abstrakt

Cielom diplomovej práce je poskytnúť čitateľom teoretický základ a prostriedky na riešenie konkrétnych typov dvojúrovňových optimalizačných problémov ako je napríklad problém optimálneho návrhu experimentu. V tejto práci sú implementované metódy založené na Karush-Kuhn-Tuckerových podmienkach optimality, Blankenship-Falkovom a Mitsos-Tsoukalasovom algoritme. Funkcie použité na riešenie týchto problémov boli vytvorené v prostredí MATLAB s použitím globálneho riešiteľa BARON a sú voľne dostupné ako balík pre MATLAB. Optimálny dizajn experimentu je dosiahnutý vhodným vybudením systému použitím dostupných akčných zásahov. Pripravené funkcie sú schopné navrhnuť optimálny dizajn experimentu použitím A-dizajn kritéria aj pre nelineárne diskrétné a statické modely. Na riešenie problému optimálneho dizajnu experimentu sú pripravené dve stratégie. Prvá je založená na Karush-Kuhn-Tuckerových podmienkach optimality a je vhodná prevažne pri lineárnych systémoch. Druhá stratégia používa Mitsos-Tsoukalasov algoritmus, ktorý dokáže riešiť aj problémy založené na nelineárnych modeloch. Práca sa zaoberá aj riešením všeobecnejších typov dvojúrovňových problémov na ktoré sú dostupné tri stratégie, aplikácia Karush-Kuhn-Tuckerových podmienok optimality, Blankenship-Falkov algoritmus a Mitsos-Tsoukalasov algoritmus. Na záver je uvedené vyhodnotenie jednotlivých metód.

**klúčové slová:** dvojúrovňové optimalizačné problémy, Blankenship-Falkov algoritmus, Mitsos-Tsoukalasov algoritmus, optimálny návrh experimentov



# Obsah

Podakovanie	iii
Abstract	v
Abstrakt	vii
<b>1 Úvod</b>	<b>1</b>
<b>2 Dvojúrovňové optimalizačné problémy a spôsoby ich riešenia</b>	<b>3</b>
2.1 Dvojúrovňové optimalizačné problémy . . . . .	3
2.2 Optimálny návrh experimentu . . . . .	4
2.2.1 Región spoľahlivosti . . . . .	4
2.2.2 Spôsoby optimalizácie regiónu spoľahlivosti . . . . .	5
2.2.3 A-optimálny dizajn . . . . .	5
2.3 Prehľad použitých stratégií riešenia . . . . .	7
2.3.1 Karush-Kuhn-Tuckerové podmienky optimality . . . . .	7
2.3.2 Riešenie GSIP pomocou KKT-podmienok . . . . .	9
2.3.3 Použitie KKT-podmienok na problém optimálneho návrhu experimentu . . . . .	9
2.3.4 Blankenship-Falkov algoritmus . . . . .	10

---

2.3.5 Mitsos-Tsoukalasov algoritmus . . . . .	11
<b>3 Implementácia funkcií bi_level a bi_level_OED</b>	<b>19</b>
3.1 Výpočtové prostredie MATLAB . . . . .	19
3.1.1 BARON . . . . .	20
3.2 Štruktúra funkcií bi_level a bi_level_OED . . . . .	20
3.2.1 Strom a popis volaných funkcií programu bi_level . . . . .	20
3.2.2 Strom a popis volaných funkcií programu bi_level_OED . . . . .	22
3.3 Volanie funkcií a popis jednotlivých prvkov . . . . .	23
3.3.1 Argumenty funkcie bi_level . . . . .	23
3.3.2 Štruktúra logov funkcie bi_level . . . . .	25
3.3.3 Argumenty funkcie bi_level_OED . . . . .	28
3.3.4 Štruktúra logov bi_level_OED funkcie . . . . .	30
<b>4 Príklady použitia funkcií bi_level a bi_level_OED</b>	<b>33</b>
4.1 Problém riešený bi_level funkciou . . . . .	33
4.1.1 Problém minimalizácie y-súradnice elipsy . . . . .	33
4.2 Problémy riešené bi_level_OED funkciou . . . . .	41
4.2.1 Optimálny návrh experimentu založený na statickom modeli . . . . .	41
4.2.2 Optimálny návrh experimentu založený na diskretnom modeli . . . . .	50
<b>5 Záver</b>	<b>59</b>
<b>Literatúra</b>	<b>61</b>

# Zoznam obrázkov

2.1	Príklad porovnania suboptimálneho a optimálneho RS . . . . .	5
2.2	Príklad interpretácie A-dizajn kritéria . . . . .	6
4.1	Počiatočná pozícia elipsy . . . . .	34
4.2	Optimálna pozícia elipsy . . . . .	34
4.4	Grafické znázornenie výsledkov pre problém umiestnenia elipsy . . . . .	40
4.5	Región spoľahlivosti pre statický model získaný pomocou KKT programu	49
4.6	Región spoľahlivosti pre statický model získaný pomocou MT algoritmu	50
4.7	Región spoľahlivosti pre diskretný model získaný pomocou MT programu	57





# Zoznam tabuliek

3.1	Tabuľka povinných argumentov pre bi_level funkciu . . . . .	24
3.2	Tabuľka voliteľných argumentov pre bi_level funkciu . . . . .	25
3.3	Tabuľka možných hodnôt premennej Exitflag . . . . .	26
3.4	Tabuľka povinných argumentov pre bi_level_OED funkciu . . . . .	29
3.5	Tabuľka voliteľných argumentov pre bi_level_OED funkciu . . . . .	30
4.1	Výsledky pre problém umiestnenia elipsy . . . . .	39
4.2	Výsledky optimálneho návrhu experimentu s statickým modelom . . .	49
4.3	Výsledky optimálneho návrhu experimentu s diskretným modelom . .	56



Dvojúrovňové optimalizačné problémy boli prvýkrát predstavené v roku 1934 H.F. v. Stackelbergom [10], [11]. Do dnes sa v ekonomickej teórii pracuje aj so špeciálnym typom dvojúrovňových problémov tzv. Stackelbergovou hrou. Výraznejší rozvoj metód riešenia týchto problémov začal v 80. rokoch 20. storočia hnaný najmä matematikmi, ekonómami a inžiniermi, keďže problémy tohto typu sa často vyskytujú v ekonómii, ale aj v priemysle.

Výskum metód, schopných dosiahnuť globálne optimálne výsledky je dôležitý, pretože nám to umožňuje efektívne riešiť problémy ako manažment výnosov [3], manažment nebezpečných materiálov [4], problémy návrhu cestných sietí [6], [7], [2] a aj problémy, v ktorých sa nachádzajú fyzikálne alebo chemické rovnováhy.

Jedným zo spôsobov, ktorým sa dajú riešiť dvojúrovňové optimalizačné problémy je redukcia problému na jednu úroveň. Redukcia je možná pomocou transformácie problému nižšej úrovne Karush-Kuhn-Tuckerovými podmienkami optimality. Tento postup je vhodný najmä vtedy, keď problém nižšej úrovne je konvexný. Tejto metóde budú venované samostatné sekcie.

Na riešenie dvojúrovňových problémov bolo navrhnutých niekoľko gradientových metód, kde smer zostupu vedie k minimalizácii účelovej funkcie problému vyššej úrovne. Súčasne je nutné udržiavať nový bod prípustným. Nový bod je považovaný za prípustný, iba vtedy ak je optimálny z pohľadu problému nižšej úrovne. Za účelom splnenia týchto požiadaviek na nový bod vedci skúmali spôsoby ako aproximovať gradient funkcie vyššej úrovne [5] a aj pridávali pomocné [9], [12] optimalizačné úlohy, ktoré spresňujú určovanie smeru zostupu.

Ďalším zo spôsobov riešenia dvojúrovňových optimalizačných problémov je vnorený prístup. Pri vnorenom prístupe je dvojúrovňový problém rozdelený na dve časti. Na problém nižšej úrovne, ktorý je nutné vyriešiť globálne a problém vyššej úrovne na

ktorý stačí aj lokálny riešiteľ. Metóda sa nazýva vnorená, pretože problém nižšej úrovne je vnorený do vyššej úrovne, čo znamená, že keď riešiteľ vyššej úrovne nájde potenciálne optimálny bod, tak pre tento bod musí byť vyriešený celý problém nižšej úrovne aby sa zistilo, či je daný bod prípustný. Táto metóda je veľmi efektívna na malé optimalizačné problémy, ale s počtom optimalizovaných premenných jej výpočtová náročnosť výrazne rastie.

Jednou z alternatív sú metódy založené na pridávaní ohraničení do problému vyššej úrovne. S rastúcim počtom ohraničení zmenšujú prípustný region, v ktorom sa nachádza optimálne riešenie, až kým výsledok nieje dosiahnutý. V tejto práci sa budeme zaoberať dvoma metódami, ktoré patria do tejto skupiny, Blankenship-Falkovým algoritmom [1] a jeho upravenou verziou Mitsos-Tsoukalasovým algoritmom [8, 13].

Dokonca aj v dnešnej dobe s výpočtovým výkonom, ktorý bol v minulosti len veľmi ťažko predstaviteľný, sú dvojúrovňové problémy s väčším počtom premenných často riešiteľné len veľmi ťažko alebo dokonca vôbec.

V tejto práci sa budeme venovať teórii, implementácii a niekoľkým príkladom aplikácie vybraných metód riešenia dvojúrovňových optimalizačných problémov v programovacom prostredí MATLAB. Výsledkom tejto práce je vytvorenie funkcií používajúcich optimalizačný riešiteľ BARON, ktoré budú schopné riešiť vybrané typy týchto problémov. Vytvorené funkcie sú dostupné ako balík pre programovacie prostredie MATLAB. Ako bude v práci ukázané ďalej, je častým javom, že algoritmy, ktoré riešia dvojúrovňové optimalizačné problémy si vyžadujú dodatočnú transformáciu riešeného problému na ďalšie podproblémy. Pri použití poskytnutých funkcií, ale transformácia problému nieje nutná keďže to funkcie spravia automaticky.

V druhej kapitole sú predstavené optimalizačné problémy, ktoré sa snažíme riešiť a jednotlivé použité metódy na ich riešenie. V tretej kapitole sú popísané možnosti funkcií vytvorené v MATLAB-e za účelom riešenia týchto problémov. Štvrtá kapitola je venovaná príkladom a ich riešeniam použitím poskytnutých funkcií.

# Dvojúrovňové optimalizačné problémy a spôsoby ich riešenia

---

## 2.1 Dvojúrovňové optimalizačné problémy

Dvojúrovňová optimalizácia je špeciálny prípad optimalizácie, kde jeden optimalizačný problém je argumentom druhého. Vrchná časť optimalizačného problému sa štandardne nazýva problém vyššej úrovne a na spodnú časť sa odkazujeme ako na problém nižšej úrovne. Tento typ problému sa dá previesť na všeobecný semi-infinitný problém (z angl. general semi-infinite problem, ďalej GSIP).

V rámci tejto diplomovej práce a vytvoreného balíka funkcií pre MATLAB sa zaoberáme problémami v nasledovnom tvare:

$$\min_{\mathbf{x}} f(\mathbf{x}, \mathbf{y}) \quad (2.1a)$$

$$\text{s.t. } \arg \max_{\mathbf{y}} g_u(\mathbf{x}, \mathbf{y}) \quad (2.1b)$$

$$\text{s.t. } \mathbf{g}_l(\mathbf{x}, \mathbf{y}) \leq 0 \quad (2.1c)$$

kde

- $\mathbf{x}$  sú premenné vyššej úrovne.
- $\mathbf{y}$  sú premenné nižšej úrovne.
- $f(\mathbf{x}, \mathbf{y})$  je účelová funkcia vyššie úrovne.
- $g_u(\mathbf{x}, \mathbf{y})$  je účelová funkcia nižšej úrovne.
- $\mathbf{g}_l(\mathbf{x}, \mathbf{y})$  je vektor ohraničení nižšej úrovne v tvare nerovnosti.

Pri riešení dvojúrovňových optimalizačných problémov uvažujeme spojité premenné a spojité, diferencovateľné účelové funkcie a funkcie ohraničení.

## 2.2 Optimálny návrh experimentu

Optimálny návrh experimentu sa zaoberá spôsobmi ako čo najlepšie odhadnúť neznáme parametre v danom modeli. Výsledkom optimálneho návrhu experimentu je región spoľahlivosti (ďalej RS).

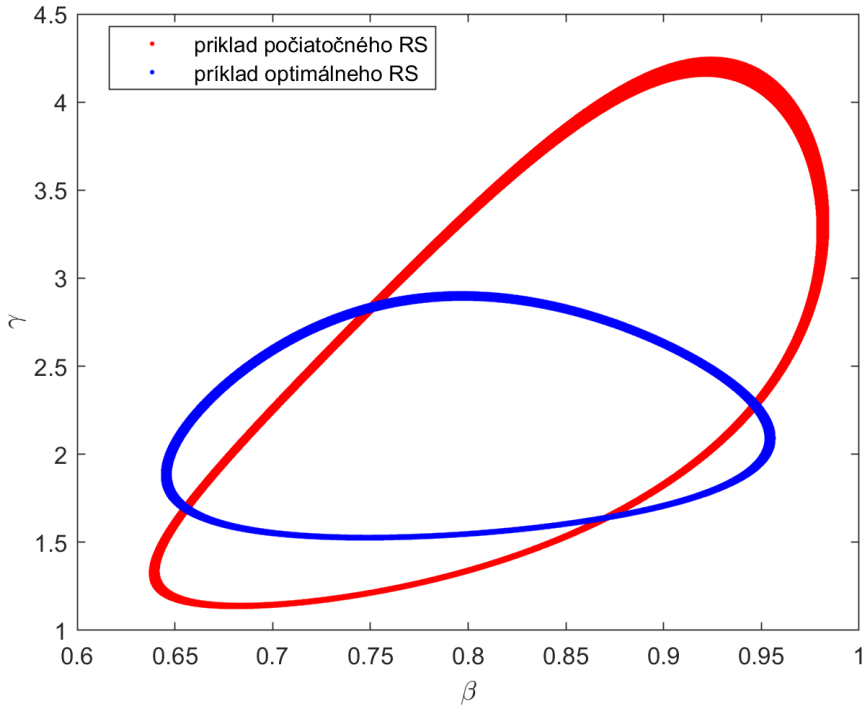
### 2.2.1 Región spoľahlivosti

Predstavuje množinu všetkých hodnôt parametrov, pri ktorých výsledky získané meraním a výsledky nadobudnuté použitím modelu s odhadovanými parametrami sa líšia maximálne o nami zvolenú hodnotu, ktorá zohľadňuje štatistickú významnosť odhadu. Aby dvojica parametrov patrila do RS musí spĺňať nasledovnú podmienku:

$$\sum_{k=1}^n \frac{(\mathbf{y}(\boldsymbol{\pi}_j, \mathbf{u}_k) - \mathbf{y}_m(\mathbf{u}_k))^2}{\sigma^2} \leq \chi_{\alpha, n_p}^2 \quad (2.2)$$

kde

- $\boldsymbol{\pi}_j$  je bod parametrov.
- $\mathbf{u}_k$  je vektor akčných zásahov.
- $\mathbf{y}(\boldsymbol{\pi}_j, \mathbf{u}_k)$  odhady hodnôt výstupu v jednotlivých krokoch.
- $\mathbf{y}_m(\mathbf{u}_k)$  merania hodnôt výstupu v jednotlivých krokoch
- $\sigma$  je štandardná odchýlka šumu merania.
- $\chi_{\alpha, n_p}^2$  je horný  $\alpha$  kvantil  $\chi^2$  rozdelenia pravdepodobnosti s  $n_p$  stupňami voľnosti.
- $n$  je počet meraní experimentu .



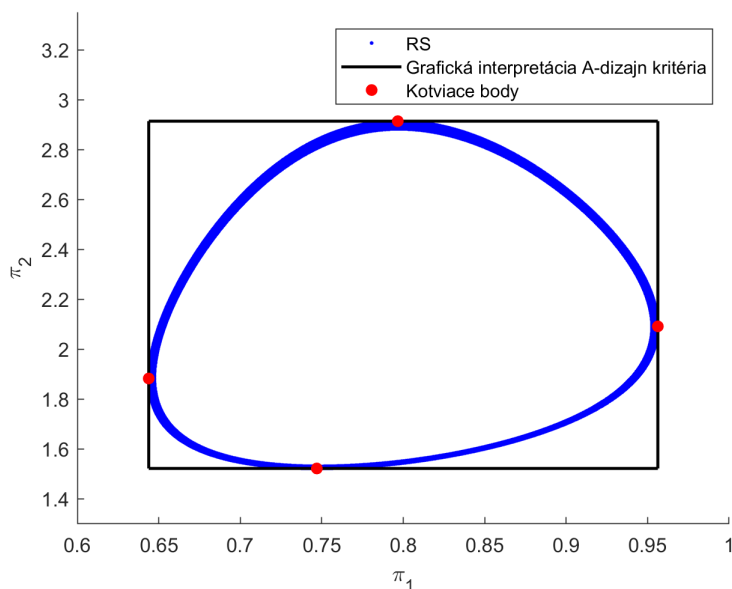
Obr. 2.1: Príklad porovnania suboptimálneho a optimálneho RS

### 2.2.2 Spôsob optimálizácie regiónu spoľahlivosti

V literatúre sa uvádzajú mnohé kritéria, ktoré môžu byť použité na získanie optimálneho regiónu spoľahlivosti. Napríklad A, D, E, modifikované E, V, Q, M a ďalšie. Každé z týchto kritérií sa zameriava na zlepšenie určitej vlastnosti RS. V tejto práci sa budeme zaoberať aplikáciou A-kritéria, čo ale neznamená, že použitie iných kritérií by nebolo výhodné.

### 2.2.3 A-optimálny dizajn

Jeden zo spôsobov určovania RS je A-optimálny dizajn. Pri A-optimálnom dizajne sa snažíme o nasledovné:



Obr. 2.2: Príklad interpretácie A-dizajn kritéria

Na obrázku 2.2 je zobrazený príklad grafickej interpretácie A-dizajn kritéria v prípade, že sa snažíme vytvoriť RS pre dvojicu hľadaných parametrov  $\pi_1$  a  $\pi_2$ . Pokúšame sa modrú množinu, ktorá predstavuje RS ohraničiť, čo najmenším obdĺžnikom, ktorý reprezentuje grafickú interpretáciu A-dizajn kritéria označenú čiernou farbou na základe kotviacich bodov označených červenými krúžkami.

Všeobecne sa dá identifikovať  $2n_p$  kotviacich bodov  $\pi$ , kde každý bod predstavuje hodnotu konkrétneho parametra v skutočnom RS. Počet hľadaných parametrov je vyjadrený premennou  $n_p$ .

$$\pi = \begin{bmatrix} \pi_1^L & \pi_2 & \dots & \dots & \pi_{n_p} \\ \pi_1^U & \pi_2 & \dots & \dots & \pi_{n_p} \\ \pi_1 & \pi_2^L & \dots & \dots & \pi_{n_p} \\ \pi_1 & \pi_2^U & \dots & \dots & \pi_{n_p} \\ \vdots & \vdots & \ddots & & \vdots \\ \vdots & \vdots & & \ddots & \vdots \\ \pi_1 & \pi_2 & \dots & \dots & \pi_{n_p}^U \\ \pi_1 & \pi_2 & \dots & \dots & \pi_{n_p}^L \end{bmatrix} \quad (2.3)$$



Kotviace body sa dajú získať vyriešením nasledovného optimalizačného problému:

$$\max_{\boldsymbol{\pi}} \sum_{j=1}^{n_p} \pi_j^U - \pi_j^L \quad (2.4a)$$

$$\text{s.t.} \quad \sum_{k=1}^n \frac{(\mathbf{y}(\boldsymbol{\pi}_j, \mathbf{u}_k) - \mathbf{y}_m(\mathbf{u}_k))^2}{\sigma^2} \leq \chi_{\alpha, n_p}^2 \quad (2.4b)$$

kde

- $\pi_j^L$  sú spodné hodnoty jednotlivých parametrov.
- $\pi_j^U$  sú horné hodnoty jednotlivých parametrov.

Celkový dvojúrovňový optimalizačný problém optimálneho návrhu experimentu je potom definovaný nasledovne:

$$\min_{\mathbf{u}} \sum_{j=1}^{n_p} \pi_j^U - \pi_j^L \quad (2.5a)$$

$$\arg \max_{\boldsymbol{\pi}} \sum_{j=1}^{n_p} \pi_j^U - \pi_j^L \quad (2.5b)$$

$$\text{s.t.} \quad \sum_{k=1}^n \frac{(\mathbf{y}(\boldsymbol{\pi}_j, \mathbf{u}_k) - \mathbf{y}_m(\mathbf{u}_k))^2}{\sigma^2} \leq \chi_{\alpha, n_p}^2 \quad (2.5c)$$

Problém nižšej úrovne 2.5b zabezpečuje získanie kotviacich bodov na základe funkcií príslušnosti 2.5c, ktoré limitujú prípustné hodnoty parametrov na také, ktoré patria do RS. Problém vyššej úrovne 2.5a sa snaží pomocou vektora akčných zásahov  $\mathbf{u}$  nájsť čo najmenší RS.

## 2.3 Prehľad použitých stratégií riešenia

Na nasledujúcich stranách uvádzam spôsoby riešenia dvojúrovňových problémov, ktoré boli použité pri tvorbe balíka pre MATLAB.

### 2.3.1 Karush-Kuhn-Tuckerové podmienky optimality

Karush-Kuhn-Tuckerove podmienky optimality sú štyri nutné, ale nie postačujúce podmienky pre získanie optimálneho riešenia problému. Pri aplikácii na dvojúrovňový

optimalizačný problém má zmysel použiť KKT-podmienky len na problém nižšej úrovne. Problém vyššej úrovne je potom vyriešený globálne pomocou riešiteľa BARON.

### 2.3.1.1 Podmienka stacionarity

Podmienka stacionarity pre tvar problému, ktorý budeme v tejto práci používať vyzerá nasledovne:

$$\nabla g_u(\mathbf{x}, \mathbf{y}^*) = \sum_{i=1}^m \lambda_i \nabla g_{l,i}(\mathbf{x}, \mathbf{y}^*) \quad (2.6)$$

kde

- $\lambda(1, \dots, m)$  adjungované pre ohraňovania v tvare rovnosti.
- $m$  je počet obmedzení v tvare nerovnosti.
- \* sú označené optimálne hodnoty.

### 2.3.1.2 Podmienka primárnej zlučiteľnosti

Podmienka primárnej zlučiteľnosti hovorí, že pôvodné ohraňovania musia v optimálnom riešení problému byť splnené.

$$g_{l,i}(\mathbf{x}, \mathbf{y}^*) \leq 0, \text{ pre } i = 1, \dots, m \quad (2.7)$$

### 2.3.1.3 Podmienka duálnej zlučiteľnosti

Podmienka duálnej zlučiteľnosti hovorí, že ak obmedzenie je aktívne, tak optimálne riešenie bude v bode, kde  $\nabla g_u(\mathbf{x}, \mathbf{y}^*)$  a  $\nabla g_{l,i}(\mathbf{x}, \mathbf{y}^*)$  budú paralelne ( $\lambda \geq 0$ ). Ak nie sú paralelne v optimálnom riešení, tak ohraňovanie nie je aktívne.

$$\lambda_i \geq 0, \text{ pre } i = 1, \dots, m \quad (2.8)$$

### 2.3.1.4 Podmienka doplnkovej voľnosti

$$\lambda_i g_{l,i}(\mathbf{x}, \mathbf{y}^*) = 0 \text{ pre } i = 1, \dots, m \quad (2.9)$$

V prípade, že  $m = 0$ , teda neexistujú žiadne ohraničenia v tvare nerovnosti, tak sa KKT-podmienky menia na Lagrangeove podmienky a adjungované premenné sa potom nazývajú Lagrangeove násobiče.

### 2.3.2 Riešenie GSIP pomocou KKT-podmienok

Spodnú úroveň dvojúrovňového optimalizačného problému sme schopný transformovať pomocou KKT-podmienok na sústavu obmedzení pre problém vyššej úrovne. Tento postup je výhodný najmä vtedy, ak problém nižšej úrovne je konvexný. Ak nie je konvexný, tak napriek tomu, že použijeme na vyriešenie GSIP-u globálny riešiteľ, nemusíme dosiahnuť globálne optimálny výsledok. Optimalizačná úloha po transformácii vyzerá nasledovne:

$$\min_{\mathbf{x}, \mathbf{y}} f(\mathbf{x}, \mathbf{y}) \quad (2.10a)$$

$$\text{s.t. } \nabla g_u(\mathbf{x}, \mathbf{y}) - \sum_{i=1}^m \lambda_i \nabla g_{l,i}(\mathbf{x}, \mathbf{y}) = 0 \quad (2.10b)$$

$$g_{l,i}(\mathbf{x}, \mathbf{y}) \leq 0 \quad (2.10c)$$

$$\lambda_i g_{l,i}(\mathbf{x}, \mathbf{y}) = 0 \quad (2.10d)$$

$$\lambda_i \geq 0 \quad (2.10e)$$

### 2.3.3 Použitie KKT-podmienok na problém optimálneho návrhu experimentu

Podobne ako v prípade GSIP-u tak aj pri optimálnom dizajne experimentu je možné transformovať problém spodnej úrovne pomocou KKT-podmienok. Častým problémom týchto úloh je nekonvexnosť problému nižšej úrovne, čo spôsobuje aj pri použití globálneho riešiteľa nájdenie iba lokálne optimálnych výsledkov. Transformovaný

problém optimalneho návrhu experimentu je definovaný nasledovne:

$$\min_{\mathbf{u}, \boldsymbol{\pi}} \sum_{j=1}^{n_p} \pi_j^U - \pi_j^L \quad (2.11a)$$

$$\text{s.t. } \nabla \sum_{j=1}^{n_p} (\pi_j^U - \pi_j^L) - \sum_{i=1}^m \lambda_i \nabla \left( \sum_{k=1}^n \frac{(\mathbf{y}(\boldsymbol{\pi}_j, \mathbf{u}_k) - \mathbf{y}_m(\mathbf{u}_k))^2}{\sigma^2} - \chi_{\alpha, n_p}^2 \right) = 0 \quad (2.11b)$$

$$\sum_{k=1}^n \frac{(\mathbf{y}(\boldsymbol{\pi}_j, \mathbf{u}_k) - \mathbf{y}_m(\mathbf{u}_k))^2}{\sigma^2} - \chi_{\alpha, n_p}^2 \leq 0 \quad (2.11c)$$

$$\lambda_i \left( \sum_{k=1}^n \frac{(\mathbf{y}(\boldsymbol{\pi}_j, \mathbf{u}_k) - \mathbf{y}_m(\mathbf{u}_k))^2}{\sigma^2} - \chi_{\alpha, n_p}^2 \right) = 0 \quad (2.11d)$$

$$\lambda_i \geq 0 \quad (2.11e)$$

Počet ohraničení 2.11c je závislý od počtu parametrov modelu. V prípade jedného parametra budú ohraničenia 2.11c dve, jedno pre hornú hranicu parametra a jedno pre spodnú hranicu parametra, teda počet ohraničení 2.11c je rovný dvojnásobku počtu parametrov.

### 2.3.4 Blankenship-Falkov algoritmus

V poradí druhá skúmaná metóda riešenia dvojúrovňových problémov je Blankenship-Falkov algoritmus. Jedná sa o iteračnú metódu veľmi podobnú šachovej partii, kde minimalizácia začína svojím prvým návrhom riešenia, “ťahom”, na ktorý maximalizácia odpovedá vlastným “ťahom”, ktorý predstavuje pridanie nových ohraničení do problému vyššej úrovne. S hromadiacimi sa ohraničeniami sa prípustný region riešení znižuje, až kým algoritmus nedosiahne výsledok.

#### 2.3.4.1 Riešenie GSIP Blankenship-Falkovým algoritmom

Pri aplikácii Blankenship-Falkovho algoritmu na GSIP riešime optimalizačný problém nasledovne:

1. Najprv si potrebujeme inicializovať počiatočné hodnoty premenných nižšej úrovne  $\mathbf{y}$  ako  $\mathbf{y}_0$ . S  $\mathbf{y}$  definovanými vo vyššej úrovni ako konštanty  $\mathbf{y}_0$  získame vektor premenných vyššej úrovne  $\mathbf{x}$ , vyriešením optimalizačného problému v našom

prípade minimalizácie v tvare:

$$\min_{\mathbf{x}} f(\mathbf{x}, \mathbf{y}_0) \quad (2.12a)$$

$$\text{s.t. } g_u(\mathbf{x}, \mathbf{y}_0) \leq 0 \quad (2.12b)$$

2. Na základe výsledného vektora  $\mathbf{x}^*$ , zdefinujeme premenné  $\mathbf{x}$  v nižšej úrovni (maximalizácia) ako konštanty.

$$\max_{\mathbf{y}} g_u(\mathbf{x}^*, \mathbf{y}) \quad (2.13a)$$

$$\text{s.t. } g_l(\mathbf{x}^*, \mathbf{y}) \leq 0 \quad (2.13b)$$

Skontrolujeme či je dané riešenie prípustné. Na to, aby bolo dané riešenie prípustné musí platiť:

$$g_u(\mathbf{x}^*, \mathbf{y}^*) \leq \text{Tol} \quad (2.14)$$

kde Tol je veľmi malé číslo, ktoré je možné nastaviť v poskytnutých funkciách.

3. Ak riešenie je prípustné, tak sme dosiahli optimálny výsledok. V prípade, že riešenie nie je prípustné, tak do vyššej úrovne pridáme nové ohraničenie s hodnotami  $\mathbf{y}$  získanými maximalizáciou. Vyriešime nasledovný optimalizačný problém a pokračujeme bodom 2.

$$\min_{\mathbf{x}} f(\mathbf{x}, \mathbf{y}_1) \quad (2.15a)$$

$$\text{s.t. } g_u(\mathbf{x}, \mathbf{y}_0) \leq 0 \quad (2.15b)$$

$$g_u(\mathbf{x}, \mathbf{y}_1) \leq 0 \quad (2.15c)$$

### 2.3.5 Mitsos-Tsoukalasov algoritmus

Vylepšenie algoritmu Blankenship-Falka ponúkli autori A. Mitsos a A. Tsoukalas [8]. Tento algoritmus rozdelí všeobecný semi-infinitný optimalizačný problém na štyri podproblémy. V nasledovnom delení bolo zanechané značenie, ktoré používali autori algoritmu:

1. GSIP-LBD (z ang. lower bounds of general semi-infinite problem, spodné hranice všeobecného semi-infinitného problému)
2. GSIP-UBD (z ang. upper bounds of general semi-infinite problem, horné hranice všeobecného semi-infinitného problému)
3. LLP (z ang. lower level problem, problém nižšej úrovne)
4. LLP-AUX (z ang. auxiliary lower level problem, doplnkový problém nižšej úrovne)

### 2.3.5.1 Riešenie GSIP Mitsos-Tsoukalasovým algoritmom

V tejto sekcii si ukážeme ako sú definované jednotlivé podproblémy pri riešení GSIP-u Mitsos-Tsoukalasovým algoritmom.

#### GSIP-LBD

Výsledkom GSIP-LBD je nájdenie optimálnych parametrov  $\mathbf{x}^*$  a tým získanie spodnej hranice GSIP. Nadobudnutie optimálneho vektora  $\mathbf{x}^*$  sa realizuje cez vyriešenie nasledovného optimalizačného problému:

$$\min_{\mathbf{x}} f(\mathbf{x}, \mathbf{y}_{f_{ix}}) \quad (2.16a)$$

$$s.t. \min \{g_u(\mathbf{x}, \mathbf{y}_{f_{ix}}), \min_j -g_{l,j}(\mathbf{x}, \mathbf{y}_{f_{ix}})\} \leq 0 \quad \forall \mathbf{y}_{f_{ix}} \in Y^{LBD} \quad (2.16b)$$

kde

- $Y^{LBD}$  je množina hodnôt premenných nižšej úrovne  $\mathbf{y}$  získaná programom LLP.
- $\mathbf{y}_{f_{ix}}$  sú hodnoty premenných optimalizovaných v probléme nižšej úrovne, ktoré v GSIP-LBD vystupujú ako konštanty.

Pred riešením je nutné poskytnúť programu vhodný nástrel parametrov  $\mathbf{y}_{f_{ix}}$ , ktoré budú tvoriť začiatočnú množinu  $Y^{LBD,0}$ . Pri riešení problému si globálny riešiteľ vyberie minimálne jedno alebo aj viacej ohraňčení, ktoré dokáže v danej iterácii splniť, za účelom dosiahnutia optimálnej hodnoty účelovej funkcie  $f(\mathbf{x})$ . V každej iterácii pribudne nová množina ohraňčení  $g_u(\mathbf{x}, \mathbf{y}_{f_{ix}})$  a  $-g_{l,j}(\mathbf{x}, \mathbf{y}_{f_{ix}})$ , ktoré sú generované na základe nových hodnôt  $\mathbf{y}_{f_{ix}}$  získaných vyriešením LLP alebo LLP-AUX.

Funkcia  $g_u(\mathbf{x}, \mathbf{y}_{f_{ix}})$  predstavuje súčasne ohraňčenie pre GSIP – LBD a účelovú funkciu pre problém nižšej úrovne. Funkcie  $g_{l,j}(\mathbf{x}, \mathbf{y}_{f_{ix}})$  predstavujú dodatočné ohraňčenia, ktoré musia byť splnené. Možnosť výberu ohraňčenia, ktoré je splnené je užitočná z toho dôvodu, že LLP-AUX môže vygenerovať také  $\mathbf{y}$ , ktoré nie sú prípustné.

Keďže nie každý globálny riešiteľ podporuje funkciu  $\min$ , tak bolo nutné ohraňčenia preformulovať pomocou binárnych premenných  $\mathbf{z}$ , ktoré nadobúdajú hodnotu 1, keď je ohraňčenie splnené a 0, keď nie je splnené. Počet pomocných binárnych premenných

$n_b$  sa rovná súčtu počtu  $g_{l,j}$  a  $g_u$  ohraničení. Ohraničenia v optimalizačnom probléme vyzerajú po transformácii nasledovne:

$$z_j - 1 - \frac{g_{l,j}(\mathbf{x}, \mathbf{y}_{f\mathbf{i}\mathbf{x}})}{g_{l,j}^{max}} \leq 0 \quad (2.17a)$$

$$z_u - 1 + \frac{g_u(\mathbf{x}, \mathbf{y}_{f\mathbf{i}\mathbf{x}})}{g_u^{max}} \leq 0 \quad (2.17b)$$

$$1 - \sum_{i=1}^{n_b} \leq 0 \quad (2.17c)$$

Menovatele  $g_{l,j}^{max}$  a  $g_u^{max}$  predstavujú nahodnotenie maximálnej hodnoty funkcie  $g_{l,j}$  a  $g_u$ . Posledné ohraničenie zabezpečuje, že aspoň jedno ohraničenie je splnené.

### GSIP-UBD

GSIP-UBD má za úlohu získať optimálne parametre  $\mathbf{x}^*$  pre hornú hranicu skúmaného problému. Pre nájdenie optimálneho vektora  $\mathbf{x}^*$  je nutné vyriešiť nasledovnú optimalizačnú úlohu:

$$\min_{\mathbf{x}} f(\mathbf{x}, \mathbf{y}_{f\mathbf{i}\mathbf{x}}) \quad (2.18a)$$

$$s.t. \min \{g_u(\mathbf{x}, \mathbf{y}_{f\mathbf{i}\mathbf{x}}) + \varepsilon_u, \min_j -g_{l,j}(\mathbf{x}, \mathbf{y}_{f\mathbf{i}\mathbf{x}}) + \varepsilon_{l,j}\} \leq 0 \quad \forall \mathbf{y}_{f\mathbf{i}\mathbf{x}} \in Y^{UBD} \quad (2.18b)$$

kde

- $Y^{UBD}$  je množina hodnôt  $\mathbf{y}$  získaná z problému nižšej úrovne (LLP).
- $\varepsilon_{l,j}$  a  $\varepsilon_u$  sú hodnoty reštrikčných parametrov.

Podobne ako v prípade GSIP-LBD aj pre GSIP-UBD môže byť nutné prerobiť ohraničenia tak, aby sme simulovali funkciu min operátora.

$$z_j - 1 - \frac{g_{l,j}(\mathbf{x}, \mathbf{y}_{f\mathbf{i}\mathbf{x}}) - \varepsilon_{l,j}}{g_{l,j}^{max}} \leq 0 \quad (2.19a)$$

$$z_u - 1 + \frac{g_u(\mathbf{x}, \mathbf{y}_{f\mathbf{i}\mathbf{x}}) + \varepsilon_u}{g_u^{max}} \leq 0 \quad (2.19b)$$

$$1 - \sum_{i=1}^{n_b} \leq 0 \quad (2.19c)$$

Úlohou GSIP-UBD je nájsť hornú hranicu GSIP. Pred riešením je nutné poskytnúť programu vhodný nástrel parametrov  $\mathbf{y}_{fix}$ , ktoré budú tvoriť počiatočnú množinu  $Y^{UBD,0}$ . Na dosiahnutie tohto cieľa sme do ohraničení pridali pomocné premenné  $\varepsilon_u$  a  $\varepsilon_{l,j}$ , ktoré predstavujú reštrikciu pravej strany ohraničení. Ich úlohou je vytvoriť aproximáciu pôvodného GSIP-u, ktorý bude predstavovať hornú hranicu celkového problému. Je možné ich definovať jednotlivo pre každé ohraničenie alebo použiť jednu hodnotu pre všetky. Pri stúpajúcom počte iterácii hodnota týchto premenných klesá a pri dosiahnutí optimálnej hodnoty účelovej funkcie GSIP – UBD a GSIP – LBD dosiahnu rovnaké výsledky.

### LLP

Úlohou LLP je získať vektor optimalizovaných premenných problému nižšej úrovne  $\mathbf{y}$ . LLP je definovaný nasledovne:

$$\max_{\mathbf{y}} g_u(\mathbf{x}_{fix}, \mathbf{y}) \quad (2.20a)$$

$$\text{s.t. } g_{l,j}(\mathbf{x}_{fix}, \mathbf{y}) \leq 0 \quad (2.20b)$$

### LLP-AUX

Výsledkom LLP-AUX je získanie Slaterovho bodu, čo predstavuje relaxáciu LLP, ale zároveň reštrikciu pre GSIP – LBD.

$$\min_{\mathbf{y}} \max_j g_{l,j}(\mathbf{x}_{fix}, \mathbf{y}) \quad (2.21a)$$

$$\text{s.t. } \xi g_u(\mathbf{x}_{fix}, \mathbf{y}_{fix}) - g_u(\mathbf{x}_{fix}, \mathbf{y}) \leq 0 \quad (2.21b)$$

Keďže BARON nepodporuje ani funkciu max, tak problém minimalizácie maximálnej hodnoty funkcií ohraničení  $g_{l,j}(\mathbf{x}_{fix}, \mathbf{y})$  je nutné transformovať do nasledovnej podoby:

$$\min_{\mathbf{y}, \omega} \omega \quad (2.22a)$$

$$\text{s.t. } g_{l,j}(\mathbf{x}_{fix}, \mathbf{y}) - \omega \leq 0 \quad (2.22b)$$

$$\xi g_u(\mathbf{x}_{fix}, \mathbf{y}_{fix}) - g_u(\mathbf{x}_{fix}, \mathbf{y}) \leq 0 \quad (2.22c)$$

Premenná  $\omega$  je pomocná premenná, ktorej funkcia je simulácia funkcie max. Parameter  $\xi$  nadobúda kladné hodnoty menšie ako 1. Autori algoritmu odporúčajú hodnotu 0,5.



### Algoritmus

$F^{LBD} = -\infty$ ,  $F^{UBD} = +\infty$ ,  $Y^{LBD} = Y^{LBD,0}$ ,  $Y^{UBD} = Y^{UBD,0}$ ,  $\varepsilon_u = \varepsilon_{u,0}$ ,  $\varepsilon_{l,j} = \varepsilon_{l,j,0}$  pre každé  $j$

**Pokiaľ**  $(F^{UBD} - F^{LBD}) > \varepsilon_f$

Vyrieš globálne GSIP-LBD.

**Ak** je problém neriešiteľný, **tak** prirad  $F^{U,*} = F^{LBD} = \infty$  a **ukonči program, koniec**

$F^{LBD}$  sa rovná optimálnej hodnote účelovej funkcie (najlepšia nájdená hodnota).

$\mathbf{x}_{fix,LBD}$  sa rovná optimálnemu riešeniu (najlepšie nájdené hodnoty).

S hodnotami  $\mathbf{x}_{fix,LBD}$  získanými v aktuálnej iterácii globálne vyrieš LLP.

Vyriešením LLP sa získa optimálna hodnota účelovej funkcie  $g_u^*(\mathbf{x}_{fix,LBD}, \mathbf{y}^*)$  a optimálne hodnoty parametrov  $\mathbf{y}^*$  (najlepšie nájdené hodnoty).

**Ak**  $g_u^*(\mathbf{x}_{fix,LBD}, \mathbf{y}^*) \leq 0$  **tak**

$F^{UBD} = f(\mathbf{x}_{fix}, \mathbf{y}^*)$ ,  $\mathbf{x}^* = \mathbf{x}_{fix}$ , **Ukonči program**

**Alebo**  $g_{l,j}(\mathbf{x}_{fix,LBD}, \mathbf{y}^*) < 0$

Pridaj  $\mathbf{y}$  do  $Y^{LBD}$ .

**Inak**

Vyrieš LLP – AUX s  $\mathbf{y}$  získanými z LLP a  $\mathbf{x}$  získanými z GSIP – LBD v danej iterácii a pridaj optimálne hodnoty  $\mathbf{y}$  získané z LLP-AUX do  $Y^{LBD}$ .

**Koniec**

Vyrieš globálne GSIP- UBD

**Ak** je problém riešiteľný **tak**

$\mathbf{x}_{fix,UBD}$  je rovné optimálnemu riešeniu pre UBD.

S hodnotami  $\mathbf{x}_{fix,UBD}$  získanými v aktuálnej iterácii globálne vyrieš LLP.

Pomocná premenná  $v$  sa rovná hodnote účelovej funkcie LLP,  $g_u^*(\mathbf{x}_{fix,UBD}, \mathbf{y}_{UBD}^*)$ .

Vyriešením LLP sa získajú aj optimálne hodnoty  $\mathbf{y}_{UBD}^*$ .

**Ak**  $v < 0$  **potom**

**Ak**  $f(\mathbf{x}_{fix,UBD}, \mathbf{y}_{UBD}^*) < F^{UBD}$  **tak**

$F^{UBD} = f(\mathbf{x}_{fix,UBD}, \mathbf{y}_{UBD}^*)$ ,  $\mathbf{x}^* = \mathbf{x}_{fix,UBD}$

**koniec**

Prirad  $\varepsilon_u = \varepsilon_u/r_u$ ,  $\varepsilon_{l,j} = \varepsilon_{l,j}/r_j$

**Inak**

Pridaj  $\mathbf{y}_{fix,UBD}$  do  $Y^{UBD}$

**Koniec**

**Inak**

Prirad  $\varepsilon_u = \varepsilon_u/r_u$ ,  $\varepsilon_{l,j} = \varepsilon_{l,j}/r_j$

**Koniec**

**Koniec**

### 2.3.5.2 Použitie Mitsos-Tsoukalasovho algoritmu na problém optimálneho návrhu experimentu

Pred použitím Mitsos-Tsoukalasovho algoritmu na problém optimálneho návrhu experimentu bolo nutné jednotlivé podproblémy upraviť. Potrebnú úpravu navrhli Walzová, Djelassi, Caspari a Mitsos [13]. Potreba získavania hornej hranice optimalizačného problému pomocou riešenia GSIP-UBD nie je nutná, pretože hornú hranicu riešenia optimalizačného problému v danej iterácii získame riešením LLP. Riešenie sa nám potom zjednodušilo na 3 problémy a to GSIP-LBD, LLP a LLP-AUX.

#### GSIP-LBD

Výsledkom GSIP-LBD je nájdenie optimálnych hodnôt vektora akčných zásahov  $\mathbf{u}^*$  a získanie spodnej hranice GSIP v podobe pomocného parametra  $\mu$ . Nadobudnutie optimálneho vektora  $\mathbf{u}^*$  sa realizuje cez vyriešenie nasledovného optimalizačného problému:

$$\min_{\mathbf{u}} \mu \quad (2.23a)$$

$$s.t. \min \{g_u(\mathbf{u}, \boldsymbol{\pi}_{f_{ix}} - \mu) \min_j -g_{l,j}(\mathbf{u}, \boldsymbol{\pi}_{f_{ix}})\} \leq 0 \quad \forall \boldsymbol{\pi}_{f_{ix}} \in \Pi^{LBD} \quad (2.23b)$$

$$g_{l,j} = \sum_{k=1}^n \frac{(\mathbf{y}(\boldsymbol{\pi}_j, \mathbf{u}_k) - \mathbf{y}_m(\mathbf{u}_k))^2}{\sigma^2} - \chi_{\alpha, n_p}^2 \leq 0 \quad (2.23c)$$

$$g_u(\mathbf{u}, \boldsymbol{\pi}_{f_{ix}}) = \sum_{i=1}^{n_p} \pi_i^U - \pi_i^L \quad (2.23d)$$

Rovnako ako pri riešení pomocou KKT-podmienok aj v tomto prípade je počet obmedzení  $g_{l,j}$  závislý od počtu odhadovaných parametrov. Počet obmedzení  $g_l$  je rovný dvojnásobku počtu parametrov.

Aj v prípade problému optimálneho návrhu experimentu môže byť nutné implementovať tento optimalizačný problém bez použitia min operátora, v tom prípade sa nám

ohraničenia zmenia nasledovne:

$$z_j - 1 - \frac{\sum_{k=1}^n \frac{(\mathbf{y}(\boldsymbol{\pi}_j, \mathbf{u}_k) - \mathbf{y}_m(\mathbf{u}_k))^2}{\sigma^2} - \chi_{\alpha, n_p}^2}{g_{l,j}^{max}} \leq 0 \quad (2.24a)$$

$$z_u - 1 + \frac{\sum_{i=1}^{n_p} (\pi_i^U - \pi_i^L) - \mu}{g_u^{max}} \leq 0 \quad (2.24b)$$

$$1 - \sum_{i=1}^{n_b} \leq 0 \quad (2.24c)$$

## LLP

Úlohou LLP je v rámci možného regiónu spoľahlivosti, ktorý je definovaný vektorom akčných zásahov  $\mathbf{u}$ , nájsť maximálne a minimálne hodnoty jednotlivých parametrov  $\boldsymbol{\pi}$ .

$$\max_{\boldsymbol{\pi}} \sum_{i=1}^{n_p} \pi_i^U - \pi_i^L \quad (2.25a)$$

$$s.t. \ g_{l,j}(\mathbf{u}_{fix}, \boldsymbol{\pi}) \leq 0 \quad (2.25b)$$

$$g_{l,j} = \sum_{k=1}^n \frac{(\mathbf{y}(\boldsymbol{\pi}_j, \mathbf{u}_k) - \mathbf{y}_m(\mathbf{u}_k))^2}{\sigma^2} - \chi_{\alpha, n_p}^2 \quad (2.25c)$$

## LLP-AUX

Výsledkom LLP-AUX je získanie Slaterovho bodu, čo predstavuje relaxáciu LLP, ale zároveň reštrikciu pre GSIP – LBD. LLP-AUX získa hodnoty maximálnych a minimálnych hodnôt parametrov, ktoré nie sú na hranici regiónu spoľahlivosti, ale v jeho vnútri.

$$\min_{\boldsymbol{\pi}, \omega} \omega \quad (2.26a)$$

$$s.t. \ \xi \left( \sum_{i=1}^{n_p} \pi_{i,fix}^U - \pi_{i,fix}^L \right) - \sum_{i=1}^{n_p} \pi_i^U - \pi_i^L \leq 0 \quad (2.26b)$$

$$g_{l,j} = \sum_{k=1}^n \frac{(\mathbf{y}(\boldsymbol{\pi}_j, \mathbf{u}_k) - \mathbf{y}_m(\mathbf{u}_k))^2}{\sigma^2} - \chi_{\alpha, n_p}^2 \leq 0 \quad (2.26c)$$

Parameter  $\xi$  nadobúda kladné hodnoty menšie ako 1. Autori algoritmu odporúčajú hodnotu 0,5.

## Upravený algoritmus pre optimálny návrh experimentu

$F^{LBD} = -\infty$ ,  $F^{UBD} = +\infty$ ,  $\Pi^{LBD} = \Pi^{LBD,0}$ ,  $\varepsilon_u = \varepsilon_{u,0}$ ,  $\varepsilon_{l,j} = \varepsilon_{l,j,0}$  pre každé  $j$

**Pokiaľ**  $(F^{UBD} - F^{LBD}) > \varepsilon_f$

Vyrieš globálne GSIP-LBD

**Ak** je problém neriešiteľný, **tak** prirad  $F^{U,*} = F^{LBD} = \infty$  a **ukonči program, koniec**

$F^{LBD}$  sa rovná optimálnej hodnote účelovej funkcie (najlepšia nájdená hodnota).

$u_{fix}$  sa rovná optimálnemu riešeniu (najlepšie nájdené hodnoty).

S hodnotami  $u_{fix}$  získanými v aktuálnej iterácii globálne vyrieš LLP.

Vyriešením LLP sa získa optimálna hodnota účelovej funkcie  $g_u^*(u_{fix}, \pi)$  a optimálne hodnoty parametrov  $y$  (najlepšie nájdené hodnoty)

**Ak**  $F^{UBD} > g_u^*(u_{fix}, \pi)$  **tak**

$$F^{UBD} = g_u^*(u_{fix}, \pi)$$

**Koniec**

**Ak**  $g_{l,j}(u_{fix}, \pi^*) < 0$

Pridaj  $\pi$  do  $\Pi^{LBD}$

**Inak**

Vyrieš LLP – AUX s  $\pi$  získanými z LLP a  $u$  získanými z GSIP – LBD v danej iterácii

Pridaj  $\pi$  do  $\Pi^{LBD}$

**Koniec**

**Koniec**

## Implementácia funkcií `bi_level` a `bi_level_OED`

---

Za účelom umožnenia používania opísaných algoritmov boli zostrojené dve funkcie. Funkcia `bi_level` je schopná riešiť dvojúrovňové optimalizačné problémy vo všeobecnom tvare, definovanom v 2.1a pomocou Karush-Kuhn-Tuckerových podmienok optimality, Blankenship-Falkovým a Mitsos-Tsoukalasovým algoritmom. Funkcia `bi_level_OED` je schopná riešiť problém optimálneho návrh experimentu 2.5 transformáciou na jednoúrovňový problém KKT-podmienkami alebo Mitsos-Tsoukalasovým algoritmom. Repozitár so všetkými funkciami ju možné si stiahnuť cez git:

```
git clone https://Dany8246@bitbucket.org/Dany8246/bi_level.git
```

Súčasťou balíka funkcií je aj krátka príkladová dokumentácia vo formáte html, kde sú v krátkosti popísané jednotlivé funkcie a ich možnosti.

### 3.1 Výpočtové prostredie MATLAB

Pre riešenie skúmaných problémov sme si vybrali programovacie prostredie MATLAB. Toto prostredie sme si zvolili najmä kvôli dostupnosti globálneho riešiteľa BARON, pre ktorý existuje rozhranie medzi vlastným BARON-ovským prostredím a MATLAB-om. Ďalšou výhodou MATLAB-u je jemu vlastný symbolický balík, ktorý nám umožňuje efektívne a intuitívne narábať s funkciami pri tvorbe účelových funkcií a ohraničení pre optimalizačné problémy. Symbolický balík nám ďalej umožňuje intuitívnejšie definovanie vstupov do funkcií ako keby bola tvorba vstupných funkcií riešená pomocou iných dostupných metód.

### 3.1.1 BARON

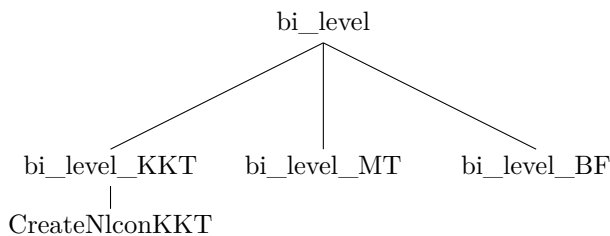
BARON je všeobecný riešiteľ, ktorý používa na riešenie optimalizačných problémov metódu vetiev a hraníc (z ang. Branch and Bound). Je schopný riešiť kontinuálne, celočíselné (z ang. integer problems) a zmiešané-celočíselné nelineárne problémy (z ang. mixed-integer nonlinear problems). BARON môže byť rozšírený o IBM ILOG CPLEX, ktorý rieši lineárne problémy a zmiešané-celočíselné problémy.

## 3.2 Štruktúra funkcií `bi_level` a `bi_level_OED`

Z dôvodu jednoduchšej, rýchlejšej obsluhy a väčšieho pohodlia pre užívateľa sú funkcie, ktoré používajú jednotlivé implementované algoritmy zakomponované do jednej nadradenej funkcie. Takto je možné po zadaní všetkých potrebných parametrov jednoduchou zmenou premennej prepnúť na algoritmus, ktorý chceme v danom momente použiť. V nasledovných sekciách je uvedený kompletný strom funkcií, ktoré nadradené programy `bi_level` a `bi_level_OED` používajú pri tvorení a riešení optimalizačných problémov.

### 3.2.1 Strom a popis volaných funkcií programu `bi_level`

Strom volaných funkcií `bi_level` programu vyzerá nasledovne:



#### KKT stratégia

`bi_level_KKT` používa na riešenie Karush-Kuhn-Tuckerové podmienky optimality. Po zadaní všetkých vstupov funkcia pretvorí štandardný tvar optimalizačného problému 2.1a na jednoúrovňový problém 2.10a použitím funkcie `CreateNlconKKT`.

`CreateNlconKKT` je funkcia zodpovedná za vytvorenie ohraničení pre optimalizovaný problém, táto funkcia rieši najmä vytvorenie gradientu Lagrangeovej funkcie, čo

v prípade zložitejších problémov môže byť veľmi výpočtovo náročná operácia. Pri tvorbe gradientu funkcia `CreateNlconKKT` využíva symbolický balík a MATLAB-u natívnu funkciu `jacobian`, ktorá je schopná vypočítať gradient pre vektor definovaných premenných. Po získaní gradientu funkcia vytvorí stĺpcový vektor ohraničení skladajúci sa z jednotlivých Karush-Kuhn-Tuckerových podmienok optimality a spolu s účelovou funkciou ich transformuje zo symbolického balíka do formátu `function_handle`, ktorý je vyžadovaný BARON-om ako vstupný formát. Funkcia `CreateNlconKKT` vytvorí aj horné a spodné hodnoty jednotlivých ohraničení, ktoré sú vyžadované BARON-om ako vstupné argumenty.

Po vytvorení všetkých funkcií ohraničení, účelovej funkcie, definovaní horných a spodných hodnôt jednotlivých premenných a ohraničení vo vhodných formátoch `bi_level_KKT` zavolá BARON. Po skončení behu BARON-u je ďalej výsledok spracovaný do požadovaného formátu a následne je poskytnutý užívateľovi.

## BF stratégia

`bi_level_BF` používa na riešenie Blankenship-Falkov algoritmus. Táto funkcia nevyžaduje vytvorenie gradientu, ale v každej iterácii sa zvyšuje množstvo ohraničení pre problém vyššej úrovne.

Stále je nutná transformácia vstupov do funkcie prostredníctvom symbolického balíka a následné pretvorenie účelových funkcií a funkcií ohraničení do formátu `function_handle` v každej iterácii. Blankenship-Falkov algoritmus je iteračná stratégia riešenia a teda práca s funkciami musí prebiehať v každej iterácii, tento proces bol zlepšený tak aby nebolo nutné vytvárať celé funkcie ohraničení v každej iterácii od začiatku, ale si program udržiava v pamäti ohraničenia z predchádzajúcej iterácie a nové ohraničenia sa do množiny pridávajú.

Po každom vytvorení funkcií ohraničení, účelovej funkcie a definovaní hraníc pre premenné a ohraničenia je zavolaný BARON, ktorý získa výsledky pre danú iteráciu. Na základe prípustnosti výsledkov sa potom algoritmus buď ukončí alebo pokračuje ďalej pridaním ohraničení. V prípade najdenia prípustného výsledku je výstup spracovaný do preddefinovaného formátu a poskytnutý užívateľovi.

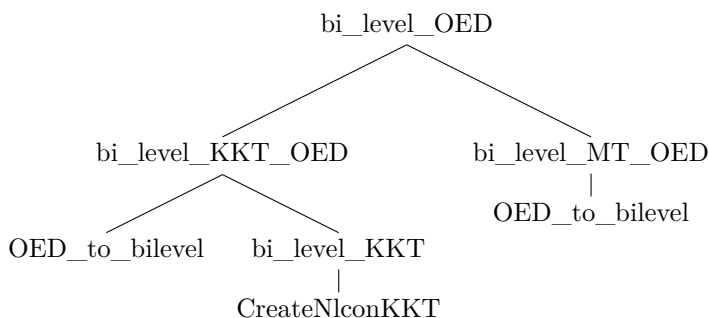
### MT stratégia

`bi_level_MT` aplikuje Mitsos-Tsoukalasov algoritmus 2.3.5.1, ktorý je vylepšenou verziou Blankenship-Falkovho algoritmu. Táto stratégia je najnáročnejšia na implementáciu, pretože na riešenie dvojúrovňového optimalizačného problému je potrebné v symbolickom balíku vytvoriť 5 podproblémov a to GSIP-LBD 2.16a, LLP 2.20, LLP-AUX 2.3.5.1 pre získanie spodnej hranice problému a GSIP-UBD 2.18a a LLP 2.20 pre získanie hornej hranice problému. Po vytvorení podproblémov je samozrejme nutné ich dodať BARON-u vo formáte `function_handle`.

LLP je v oboch prípadoch rovnako definované, ale vstupné hodnoty optimalizovaných premenných vyššej úrovne označené ako  $x_{fix}$  sú rozdielne pre LLP v UBD a LBD časti. Po vytvorení všetkých podproblémov je možné začať problém riešiť. Keďže sa jedná o algoritmus podobný Blankenship-Falkovmu algoritmu aj v tomto prípade dochádza k pridávaniu ohraničení do funkcie vyššej úrovne (GSIP-LBD a GSIP-UBD). Funkcia rozšíri a upraví všetky ohraničenia automaticky. Na konci behu funkcie sa výsledky uložia do preddefinovaného formátu a poskytnú užívateľovi.

### 3.2.2 Strom a popis volaných funkcií programu `bi_level_OED`

Štruktúra volaných funkcií nadradeného programu `bi_level_OED` je nasledovná:



### KKT stratégia pre optimálny návrh experimentu

`bi_level_KKT_OED` má za úlohu riešenie problémov optimálneho návrhu experimentu redukciou dvojúrovňového problému na problém jednej úrovne pomocou Karush-Kuhn-Tuckerových podmienok optimality.



Funkcia na základe stavového a výstupného modelu a informácie o počte meraní vytvorí najprv dvojúrovňový optimalizačný problém, túto časť má za úlohu funkcia OED\_to\_bilevel. Optimalizačný problém je vytvorený v takom tvare aby mohla byť využitá už existujúca funkcia bi\_level\_KKT 3.2.1, ktorá vytvorí finálny problém v tvare 2.11. Po skončení riešenia problému sú výsledky naformátované do preddefinované formátu a poskytnuté používateľovi.

### MT stratégia pre optimálny návrh experimentu

bi\_level\_MT\_OED je funkcia používajúca Mitsos-Tsoukalasov algoritmus pre optimálny návrh experimentu 2.3.5.2. Na rozdiel od pôvodného algoritmu 2.3.5.1 získavanie hornej hranice problému sa uskutočňuje už v LLP a tak je celkový problém zjednodušený na 3 podproblémy a to GSIP 2.23, LLP 2.25 a LLP-AUX 2.26, ktoré je nutné v symbolickom balíku vytvoriť a v každej iterácii upraviť, rozšíriť a previesť na function\_handle.

Aj v tejto funkcii využívame OED\_to\_bilevel funkciu, ktorá z informácií o počte meraní, stavového a výstupného modelu vytvorí optimalizačný problém, ktorý je následne upravený na jednotlivé podproblémy. Po vyriešení problému sú výsledky uložené, do preddefinovaného formátu a poskytnuté užívateľovi.

## 3.3 Volanie funkcií a popis jednotlivých prvkov

V tejto sekcii je popísaný spôsob akým sa používajú pripravené funkcie a ako sa nastavujú ich povinné a voliteľné parametre.

### 3.3.1 Argumenty funkcie bi\_level

Funkciu bi\_level je možné po vložení do MATLAB-u zavolať nasledovným príkazom:

```
[J_opt, lv_opt, uv_opt, Log] = bi_level(obj_fun, obj_LLP, const, lv, uv,...
lb, ub, start, strategy, 'MaxIter', MaxIter, 'Tol', Tol, 'Xi', Xi,...
'Gl_max', Gl_max, 'Gu_max', Gu_max, 'Eps_L', Eps_L, 'Eps_R', Eps_R ,...
'Eps_U', Eps_U, 'BarRuntime', BarRuntime, 'Baronset', Baronset)
```

Výsledky získané funkciou sa ukladajú do štyroch premenných:

- `J_opt` v ktorej sa nachádza optimálna hodnota účelovej funkcia problému vyššej úrovne.
- `lv_opt` je stĺpcový vektor hodnôt optimalizovaných premenných nižšej úrovne, kde premenné sú usporiadané v poradí v akom boli zadané programu.
- `uv_opt` je stĺpcový vektor hodnôt optimalizovaných premenných vyššej úrovne, kde premenné sú usporiadané v poradí v akom boli zadané programu.
- `Log` je štruktúra v ktorej sú uložené dodatočné informácie získané jednotlivými stratégiami riešenia. Premennej `Log` je venovaná samostatná sekcia.

Povinné aj voliteľné vstupné argumenty a ich formát vstupu je popísaný v nasledovných tabuľkách:

Tabuľka povinných argumentov		
Názov	Príklad formátu vstupu	Popis
<code>obj_fun</code>	<i>syms</i> $x1, x2$ <i>obj_fun</i> = $x2$	Definuje účelovú funkciu vyššej úrovne. (symbolická funkcia)
<code>obj_LLQ</code>	<i>syms</i> $x1, x2, y1, y2$ <i>obj_LLQ</i> = $(x1 + y1)^2 - (x2 + y2)$ ;	Definuje účelovú funkciu pre nižšiu úroveň. (symbolická funkcia)
<code>const</code>	$Q = [0.8, -0.6; -0.6, 0.8]$ <i>const</i> = $[[v, w] * inv(Q) * [v; w] - 1]$	Ohraničenia problému nižšej úrovne v tvare nerovnosti $const \leq 0$ (symbolický stĺpcový vektor)
<code>lv</code>	<i>lv</i> = $[y1; y2]$	Definuje program premenné pre nižšiu úroveň (symbolický stĺpcový vektor)
<code>uv</code>	<i>uv</i> = $[x1; x2]$	Definuje program premenné pre vyššiu úroveň (symbolický stĺpcový vektor)
<code>lb</code>	<i>lb</i> = $[-10, -10, -10, -10]$	Definuje spodnú hranicu pre premenné vo formáte: $[uv(1), uv(2), \dots, uv(n), lv(1), lv(2), \dots, lv(m)]$ (riadkový vektor)
<code>ub</code>	<i>ub</i> = $[10, 10, 10, 10]$	Definuje hornú hranicu pre premenné vo formáte: $[uv(1), uv(2), \dots, uv(n), lv(1), lv(2), \dots, lv(m)]$ (riadkový vektor)
<code>start</code>	<i>start</i> = $[0; 0]$	Určuje nástrely premenných spodnej úrovne pre Blankenship-Falkov a Mitsos-Tsoukalasov algoritmus (stĺpcový vektor)
<code>strategy</code>	<i>strategy</i> = "BF"	Vyberá stratégiu použitú na riešenie problému možnosti "KKT"/"BF"/"MT" (refazec)

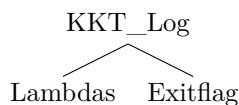
**Tabuľka 3.1:** Tabuľka povinných argumentov pre `bi_level` funkciu

Tabuľka voliteľných argumentov		
Názov	Príklad formátu vstupu	Popis
MaxIter	$MaxIter = 30$	Definuje maximálny počet cyklov pre Blankenship-Falkov a Mitsos-Tsoukalasov algoritmus prednastavené na 30 (celé číslo)
Tol	$Tol = 1e - 3$	Definuje toleranciu pre konečnú podmienku Blankenship-Falkovho a Mitsos-Tsoukalasovho algoritmu (číslo)
Xi	$Xi = linspace(0.5,0.9,30)$	Definuje koeficient pre LLP-AUX 2.3.5.1) v jednotlivých iteráciách Riadkový vektor s prvkami medzi 0 a 1 o dĺžke MaxIter(prednastavené 30) (riadkový vektor)
Gl_max	$Gl\_max = 30$	Definuje maximálnu pozitívnu hodnotu ohraničení nižšej úrovne 2.17 (číslo)
Gu_max	$Gu\_max = 35$	Definuje maximálnu pozitívnu hodnotu účelovej funkcie nižšej úrovne 2.17 (číslo)
Eps_L	$Eps\_L = 2$	Definuje hodnotu použitú na reštrikciu pravej strany pre ohraničenia nižšej úrovne v UBD časti Mitsos-Tsoukalasovho algoritmu 2.19 (číslo)
Eps_R	$Eps\_R = 2$	Definuje parameter, ktorý znižuje reštrikciu pravej strany (v algoritme $r_u$ ) 2.3.5.1 (číslo)
Eps_U	$Eps\_U = 2$	Definuje hodnotu použitú na reštrikciu pravej strany pre účelovú funkciu nižšej úrovne v UBD časti Mitsos-Tsoukalasovho algoritmu 2.19 (číslo)
BarRuntime	$BarRuntime = linspace(300,3600,30)$	BarRuntime definuje maximálny čas behu BARON-u v jednotlivých iteráciách. Je to vektor časov v sekundách o dĺžke práve MaxIter(prednastavené na 30) (riadkový vektor)
Baronset	$Baronset = baronset('maxtime',150,... 'threads',8)$	Cez Baronset je možné definovať všetky voliteľné možnosti BARON-u, pre ďalšie informácie o premennej Baronset je odporúčané nahliadnuť do dokumentácie BARON-u. (baronset-štruktúra)

Tabuľka 3.2: Tabuľka voliteľných argumentov pre bi\_level funkciu

### 3.3.2 Štruktúra logov funkcie bi\_level

#### 3.3.2.1 Log pre KKT stratégiu riešenia



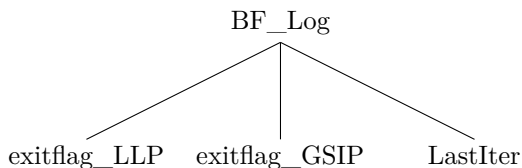
Stratégia založená na Karush-Kuhn-Tuckerových podmienkach optimality, má v premennej Log uložené hodnoty Karush-Kuhn-Tuckerových multiplikátorov pod názvom “Lambdas”, ktoré vyjadrujú ako sa približne zmení hodnota účelovej funkcie v prípade zmeny ohraničenia ku ktorému daná lambda prislúcha. Jednotlivé lambdy sú priradené k ohraničeniam podľa poradia v ktorom boli ohraničenia zadané do programu. Druhá premenná je Exitflag, ktorá dáva informáciu o úspešnosti vyriešenia optimalizačného problému riešiteľom BARON v podobe čísla bez desatinnej čiarky jednotlivé možné výsledky a ich význam sú popísané v nasledovnej tabuľke:

Exitflag	Popis
1	Optimum v rámci tolerancie
2	Neriešiteľný problém
3	Neohraničený problém
4	Prechodne riešiteľný problém
5	Neznáma chyba

**Tabuľka 3.3:** Tabuľka možných hodnôt premennej Exitflag

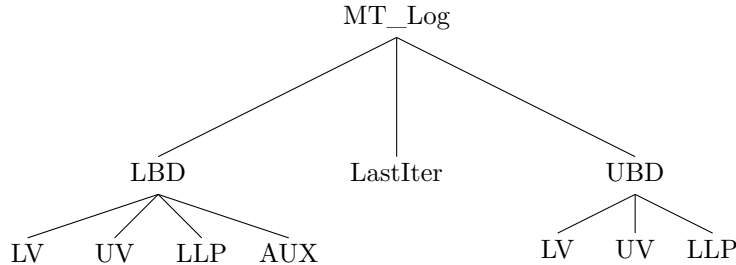
V prípade že Exitflag dosiahne status 4 alebo 5 tak niektoré premenné nemajú vhodne nastavené hranice a BARON nie je schopný garantovať globálne optimálny výsledok.

### 3.3.2.2 Log pre Blankenship-Falkovu stratégiu riešenia



Blankenship-Falkov algoritmus poskytuje v premennej Log prístup k dvom exitflag premenným, kde LLP sa vzťahuje na riešenie problému nižšej úrovne a GSIP sa odkazuje na problém vyššej úrovne. Exitflag premenené sú v rovnakom tvare ako v prípade KKT. LastIter poskytuje informáciu o počte iterácií (počte cyklov pridávania ohraničení) potrebných na vyriešenie problému.

## 3.3.2.3 Log pre Mitsos-Tsoukalasovu stratégiu riešenia



Mitsos-Tsoukalasov algoritmus poskytuje robustný Log s premennou LastIter poskytujúcou informáciou o počte cyklov potrebných na riešenie a dvoma štruktúrami LBD a UBD. Do štruktúry LBD sa ukladajú všetky hodnoty optimalizovaných premenných v rámci spodného ohraničujúceho cyklu, teda LBD časti algoritmu 2.3.5.1.

- LV je matica hodnôt všetkých premenných  $y_{fix}$  použitých na vytváranie  $g_l(x, y_{fix})$  ohraničení v jednotlivých cykloch. V algoritme je táto premenná označená ako  $y^{LBD}$
- UV je matica hodnôt všetkých premenných vyššej úrovne získaných pomocou riešenia GSIP-LBD. V jednotlivých stĺpcov sú premenné zoradené rovnako ako boli zadané do programu.
- LLP je matica hodnôt všetkých premenných vyprodukovaných pri riešení LLP programu. Z týchto hodnôt sa môže naplňať LV.
- AUX je matica hodnôt všetkých premenných vyprodukovaných pri riešení LLP-AUX programu. Z týchto hodnôt sa môže naplňať LV v prípade, že LLP hodnoty sú nevyhovujúce.

Pre UBD existuje podobný Log s tým rozdielom, že v UBD sa nevyskytuje AUX, pretože v UBD programe LLP-AUX riešenie nie je.

### 3.3.3 Argumenty funkcie `bi_level_OED`

```
[J_opt, U_opt, Param_opt, Log] = bi_level_OED(model_x, model_y, u,...  
parameters, parameters_values, x0, x0_value, lb, ub, start, model_type,...  
strategy, 'MaxIter', MaxIter, 'Alpha', Alpha, 'Sigma', Sigma,...  
'Tol', Tol, 'Xi', Xi 'Gl_max', Gl_max, 'Gu_max', Gu_max,...  
'BarRuntime', BarRuntime, 'Baronset', Baronset)
```

Výsledky získané funkciou sa ukladajú do štyroch premenných:

- `J_opt` v ktorej sa nachádza optimálna hodnota účelovej funkcia problému vyššej úrovne.
- `U_opt` je stĺpcový vektor hodnôt optimalizovaných premenných vyššej úrovne. Jedná sa o vektor akčných zásahov pri ktorých bola dosiahnutá daná hodnota účelovej funkcie.
- `Param_opt` je matica v ktorej prvom riadku sú najmenšie hodnoty parametrov a v druhom riadku sú najväčšie hodnoty parametrov. Parametre sú zoradené tak ako boli programu zadané.
- `Log` je štruktúra v ktorej sú uložené dodatočné informácie získané jednotlivými stratégiami riešenia. Premennej `Log` je venovaná samostatná sekcia.

Povinné aj voliteľné vstupné argumenty a ich formát vstupu je popísaný v nasledovných tabuľkách:

Tabuľka povinných argumentov		
Názov	Príklad formátu vstupu	Popis
model_x	$u = \text{sym}('u',[4\ 1])$ $\text{sims gama}, x0$ $\text{model\_x} = \frac{1}{(\text{gama}+x0^2)} + u(1)$	Definuje stavový model skúmaného procesu. Musí obsahovať prvý prvok vektora akčných zásahov. (symbolická funkcia)
model_y	$\text{sims beta}$ $\text{model\_y} = \text{beta} * \text{model\_x}$	Definuje výstupný model skúmaného procesu. (symbolická funkcia)
u	$u = \text{sym}('u',[4\ 1])$	Vektor akčných zásahov, musí byť súčasťou modelov (symbolický stĺpcový vektor)
parameters	$\text{parameters} = [\text{gama}, \text{beta}]$	Definuje program parametre modelu (symbolický riadkový vektor)
parameters_values	$\text{parameters\_values} = [2,0.8]$	Definuje program ideálne hodnoty parametrov modelu (riadkový vektor)
x0	$\text{sims } x0$	Definuje premennú ktorá predstavuje počiatočnú podmienku pre diskrétné modely (symbolická premenná)
lb	$\text{lb} = [-1\ 0\ 0]$	Definuje spodnú hranicu pre premenné vo formáte: $[u, \text{param}1, \text{param}2, \dots, \text{param}(n)]$ (riadkový vektor)
ub	$\text{ub} = [1\ 10\ 10]$	Definuje hornú hranicu pre premenné vo formáte: $[u, \text{param}1, \text{param}2, \dots, \text{param}(n)]$ (riadkový vektor)
start	$\text{start} =$ [3.3167 1.3256 4.2460 1.1322 0.9837 0.6377 0.9244 0.6811]	Výber nástrelových bodov parametrov pre Mitsos-Tsoukalasov algoritmus vo formáte: 4.3 (matica)
strategy	$\text{strategy} = "MT"$	Vyberá stratégiu použitú na riešenie problému možnosti: "KKT"/"MT" (refazec)
model_type	$\text{model\_type} = "discrete"$	Určuje typ modelu. možnosti "discrete"/"static" (refazec)

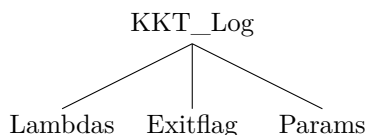
**Tabuľka 3.4:** Tabuľka povinných argumentov pre bi\_level\_OED funkciu

Tabuľka voliteľných argumentov		
Názov	Príklad formátu vstupu	Popis
MaxIter	<i>MaxIter</i> = 30	Definuje maximálny počet cyklov pre Mitsos-Tsoukalasov algoritmus (celé číslo)
Alpha	<i>Alpha</i> = 0.95	Alpha je pravdepodobnosť daná funkciou $\chi_{\alpha, n_p}^2$ , ktorá vypočíta $\chi_{\alpha, n_p}^2$ ( $0 < \text{Alpha} < 1$ )
Sigma	<i>Sigma</i> = 0.1	Predstavuje štandardnú odchýlku šumu merania (číslo)
Tol	<i>Tol</i> = $1e - 3$	Definuje toleranciu pre konečnú podmienku Mitsos-Tsoukalasovho algoritmu (číslo)
Xi	<i>Xi</i> = <i>linspace</i> (0.5,0.9,30)	Definuje koeficient pre LLP-AUX 2.3.5.1) v jednotlivých iteráciách. Riadkový vektor s prvkami medzi 0 a 1 o dĺžke MaxIter (prednastavené 30) (riadkový vektor)
Gl_max	<i>Gl_max</i> = 30	Definuje maximálnu pozitívnu hodnotu ohraničení nižšej úrovne 2.24 (číslo)
Gu_max	<i>Gu_max</i> = 35	Definuje maximálnu pozitívnu hodnotu účelovej funkcie nižšej úrovne 2.24 (číslo)
BarRuntime	<i>BarRuntime</i> = <i>linspace</i> (300,3600,30)	BarRuntime definuje maximálny čas behu BARON-u v jednotlivých iteráciách. Je to vektor časov v sekundách o dĺžke práve MaxIter (prednastavené na 30) (riadkový vektor)
Baronset_U	<i>Baronset</i> = <i>baronset</i> ('maxtime',150,... 'threads',8)	Cez Baronset je možné definovať všetky voliteľné možnosti BARON-u, pre ďalšie informácie o premennej Baronset je odporúčané nahliadnuť do dokumentácie BARON-u. (baronset-štruktúra)

**Tabuľka 3.5:** Tabuľka voliteľných argumentov pre `bi_level_OED` funkciu

### 3.3.4 Štruktúra logov `bi_level_OED` funkcie

#### 3.3.4.1 Log pre KKT stratégiu riešenia

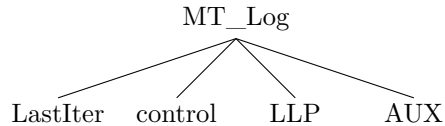


Log v prípade použitia KKT stratégie `bi_level_OED` funkcie je podobný ako v prípade `bi_level` programu. Rozdiely sú v tom, že jednotlivé lambdy sa odvolávajú na funkcie príslušnosti 2.11c, ktoré si `bi_level_OED` poskladá na základe modelu sám a “Params”



predstavuje vektor všetkých optimalizovaných parametrov, teda aj doplnkových.

### 3.3.4.2 Log pre Mitsos-Tsoukalasovu stratégiu riešenia



Pri použití Mitsos-Tsoukalasovej stratégie premenná Log obsahuje číslo poslednej iterácie v premennej LastIter a matice control, LLP a AUX

- control obsahuje maticu s hodnotami akčných zásahov získaných v jednotlivých iteráciách.
- LLP obsahuje maticu s hodnotami parametrov v jednotlivých iteráciách získaných programom LLP. Každý stĺpec LLP matice predstavuje maticu  $\pi$  transformovanú do jedného stĺpca, tak, že každý ďalší stĺpec matice  $\pi$  je uložený pod prvý stĺpec. Z týchto hodnôt sa môže naplňať množina  $\Pi$  v algoritme 2.3.5.2.
- AUX je matica hodnôt parametrov vyprodukovaných pri riešení LLP-AUX programu. Z týchto hodnôt sa môže naplňať množina  $\Pi$  v algoritme 2.3.5.2 v prípade, že LLP hodnoty sú nevyhovujúce.

V nasledujúcej kapitole sú uvedené príklady použitia aj s úplným návodom na zápis daných problémov.



# Príklady použitia funkcií `bi_level` a `bi_level_OED`

---

V nasledovných sekciách sa dajú nájsť kompletné príklady použitia vyššie spomínaných funkcií. Sekcie s príkladmi riešenia problémov sú rozdelené na definíciu problému, prípravu vstupných argumentov a výsledky dosiahnuté všetkými stratégiami.

## 4.1 Problém riešený `bi_level` funkciou

V tejto sekcii sa venujeme príkladu problému vo všeobecnom formáte popísanom 2.1a.

### 4.1.1 Problém minimalizácie $y$ -súradnice elipsy

V rámci tohoto problému sa snažíme umiestniť elipsu daných rozmerov čo najnižšie nad ohraničenie v tvare paraboly, tak aby ich elipsa nepretla.

#### 4.1.1.1 Definovanie problému

Optimalizačný problém je definovaný nasledovne:

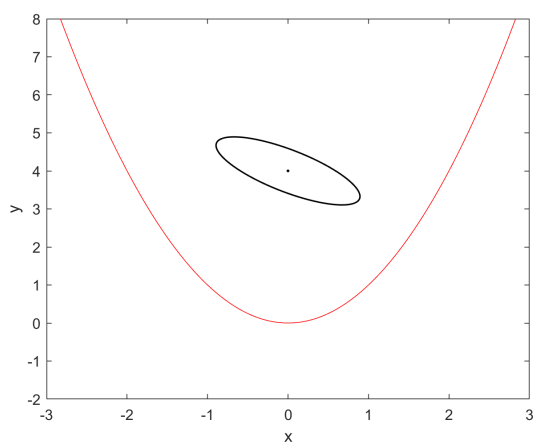
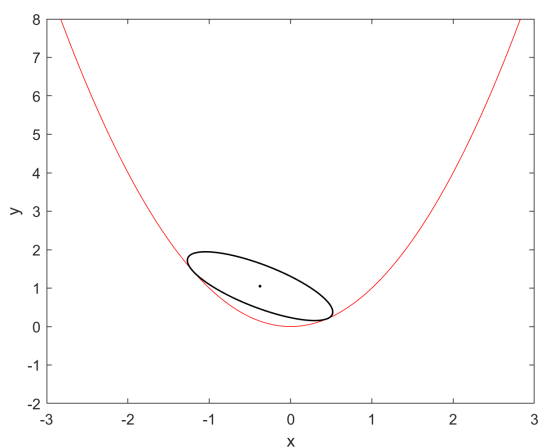
$$\min_{x,y} y \quad (4.1a)$$

$$\arg \max_{v,w} (x+v)^2 - (y+w) \quad (4.1b)$$

$$s.t. [v,w]Q^{-1} \begin{bmatrix} v \\ w \end{bmatrix} \leq 0 \quad (4.1c)$$

kde

- $Q = \begin{pmatrix} 0.8 & -0.6 \\ -0.6 & 0.8 \end{pmatrix}$  je kovariančná matica, ktorá definuje rozmery a natočenie elipsy.
- $x, y$  sú súradnice stredu elipsy.
- $v, w$  sú odchylkové premenné pomocou, ktorých hľadáme bod ktorý najviac porušuje kvadratické ohraňenie.

**Obr. 4.1:** Počiatočná pozícia elipsy**Obr. 4.2:** Optimálna pozícia elipsy

#### 4.1.1.2 Definovanie vstupných argumentov

V nasledovnej ukážke kódu sú definované všetky povinné a aj voliteľné argumenty aj s popisom ich účelu. Ako prvé je nutné zdefinovať symbolické premenné pre optimalizačný problém.

```
syms x y v w
```

Keď máme zdefinované symbolické premenné tak s ich pomocou vytvoríme účelovú funkciu vyššej úrovne, účelovú funkciu nižšej úrovne a ohraničenia.

```
% Ucelova funkcia problemu vysej urovne
% (symbolicka funkcia)
obj_fun = y;
% Ucelova funkcia problemu nizsej urovne
% (symbolicka funkcia)
obj_LLQ = (x+v)^2-(y+w);
% Ohranicenia pre problem nizsej urovne v tvare:
% const <= 0
% (symbolicky stlpcovy vektor)
const = [[v,w]*inv([0.8 -0.6;-0.6 0.8])*[v;w]-1];
```

BARON potrebuje mať zdefinované maximálne a minimálne hranice všetkých optimalizovaných premenných.

```
% Spodne a horne hranice hodnot optimalizovanych premennych
% format:[uv(1),uv(2),...,uv(n),lv(1),lv(2),...,lv(m)]
% (riadkovy vektor)
lb = [-10 -10 -10 -10];
ub = [10 10 10 10];
```

Následne je nutné definovať ktoré symbolické premenné patria vyššej úrovni a ktoré nižšej úrovni.

```
% Premenne problemu vysej urovne
% (symbolicky stlpcovy vektor)
uv = [x;y];
% Premenne problemu nizsej urovne
% (symbolicky stlpcovy vektor)
lv = [v;w];
```

Stratégie riešenie BF a MT potrebujú počiatočné hodnoty premenných nižšej úrovne, preto je nutné ich definovať.

```
% Nastrelove hodnoty optimalizovanych premennych nizsej urovne
% pre strategie "BF" a "MT"
% (stlpcovy vektor)
start = [0;0];
```

Posledným povinným argumentom je stratégia riešenia, ktorú si môžeme zvoliť napríklad "BF".

```
% Definuje, ktora strategia riesenia problemu bude pouzita
% moznosti su "KKT", "BF" a "MT"
strategy = "BF"
```

Následne si môžeme zvoliť voliteľné argumenty. Voliteľné argumenty môžu byť zadané v ľubovoľnom poradí pokiaľ sa dodrží párovanie názov argumentu čiarka hodnota argumentu. Prvým voliteľným argumentom je `MaxIter`, ktorý tvorí stopovacie kritériu na počet cyklov pre MT a BF stratégiu, predvolená hodnota je 30.

```
% Maximalny pocet iteracii pre "MT" a "BF" strategie)
% (kladne cislo)
MaxIter = 30;
```

Prísnosť kritéria ktoré rozhoduje o dosiahnutej presnosti optimálneho riešenia pre algoritmi BF 2.14 a MT 2.3.5.1 je možné nastaviť zmenou hodnoty premennej `Tol`, ktorej predvolená hodnota je  $1e - 6$ .

```

% Definuje prisnost koncovej podmienky pre "BF" a "MT" algoritmus
% (male kladne cislo)
Tol = 1e-4;

```

Pri použití MT algoritmu je v podprobléme LLP-AUX 2.3.5.1 možné meniť parameter  $\xi$ . Autori odporúčajú hodnotu 0.5. Zadávanie tohoto parametra je prispôsobené tak, že užívateľ má možnosť zadať inú hodnotu parametra v každej iterácii. Pre správne fungovanie tohoto parametra je potrebné aby užívateľ zadal riadkový vektor o dĺžke maximálneho počtu iterácii (MaxIter, predvolené 30) s hodnotami jednotlivých elementov v rozmedzí 0 a 1. Pozícia prvku vo vektore zodpovedá iterácii v ktorej bude daná hodnota použitá. V príklade bolo použité na vytvorenie vektora  $\xi$  funkcia linspace, ktorá vytvorí 30 hodnôt, ktoré sú od seba rovnomerne vzdialené medzi hodnotami 0.5 a 0.9. Predvolená hodnota je linspace(0.5,0.9,MaxIter)

```

% Predstavuje hodnotu koeficienta Xi v kazdej iteracii (MT=>LLP-AUX)
% Je odporucane zacat na hodnote 0.5 a postupne ju zvysovat po hodnotu 0.9
% (vektor s dlzkou MaxIter, ktora je prednastavena na 50)
Xi = linspace(0.5,0.9,30);

```

MT algoritmus reformuluje ohraničenia pomocou binárnych premenných  $z$  pre podproblémy GSIP-LBD 2.17 a GSIP-UBD 2.19. V tejto transformácii je možné určiť nadhodnotenie maximálnej pozitívnej hodnoty funkcií ohraničení  $g_{l,j}^{max}$  a nadhodnotenie maximálnej pozitívnej hodnoty účelovej funkcie problému nižšej úrovne  $g_u^{max}$ . Predvolené hodnoty sú  $g_{l,j}^{max} = 30$  a  $g_u^{max} = 35$

```

% Nadhodnotenie maximalnej pozitivnej hodnoty funkcii ohraniceni
% (kladne cislo)
G1_max = 25;
% Nadhodnotenie maximalnej pozitivnej hodnoty ucelovej funkcie
% problemu nizsej urovne
% (kladne cislo)
Gu_max = 20;

```

Pri použití MT algoritmu je možné nastavovať reštrikcie pravej strany ohraničení  $\varepsilon_L$  a  $\varepsilon_U$ , ktoré GSIP-UBD 2.18a pomáhajú vytvárať hornú ohranicu optimalizovaného problému. Tieto ohraničenia sa znižujú s počtom iterácii a faktor ktorým sú delené je tiež možné nastaviť pod premennou  $\varepsilon_R$ . Predvolené hodnoty týchto parametrov sú

rovné 2.

```
% Kladna hodnota restrikcie pravej strany ohraniceni pouzita "MT"
    strategiou
% pri ziskavani hornej hranice GSIP
% (kladne cislo)
Eps_L   = 1.5;
Eps_U   = 1;
% Eps_R je faktor, ktorym sa Eps_L a Eps_U znižuju
% (1<Eps_R)
Eps_R   = 2;
```

Pre iteračné algoritmy ako je BF a MT je výhodné mať možnosť zdefinovať rozdielny maximálny čas behu BARON-u v jednotlivých iteráciách. Pomocou definovania premennej `BarRuntime` je možné funkciu informovať koľko času má BARON na riešenie jednotlivých problémov v konkrétnej iterácii. `BarRuntime` je riadkový vektor o dĺžke `MaxIter` (predvolené 30), kde jednotlivé elementy vektora predstavujú časy v sekundách vyhradené na riešenie problémov. Pozícia elementu určuje v ktorej iterácii bude daná hodnota použitá. V prípade nesprávneho definovanie (vektor je kratší alebo dlhší ako `MaxIter`) bude použitá hodnota z premennej `Baronset`, `MaxTime`. V prípade že `baronset` nebol definovaný je použité štandardné nastavenie BARON-u, ktoré vo verzii BARON-u použitej pri tvorbe týchto funkcií má hodnotu `MaxTime` rovné 1000 sekúnd na jeden beh.

```
% Maximalny cas behu BARON-u pre kazdu iteraciju, ak nie je nastaveny
% pouzije sa cas z Baronset-u. BarRuntime je vektor s dlzkou
% MaxIter(zakladna hodnota 50). Elementy tohoto vektora definuju
    maximalny cas behu
% BARON-u v sekundach v jednotlivych iteraciach.
% (riadkovy vektor)
BarRuntime = [ones(1,8)*200,ones(1,10)*600,ones(1,12)*1800]
```



Posledným voliteľným argumentom je Baronset. Baronset predstavuje štruktúru s mnohými nastavenia pre riešiteľ BARON. Keďže týchto nastavení je veľa je odporúčané prečítať si dokumentáciu o jednotlivých možnostiach BARON-u.

```
% Příklad definície Baronset struktury
% (pre viac informácií o nastaveniach baronset
% je vhodné nahliadnuť do dokumentácie BARON-u,
% alebo napísať baronset v MATLABE-e )
Baronset = baronset('MaxTime',300,'threads',8);
```

Po zadaní všetkých povinných a v tomto prípade aj voliteľných argumentom nasleduje zavolanie funkcie:

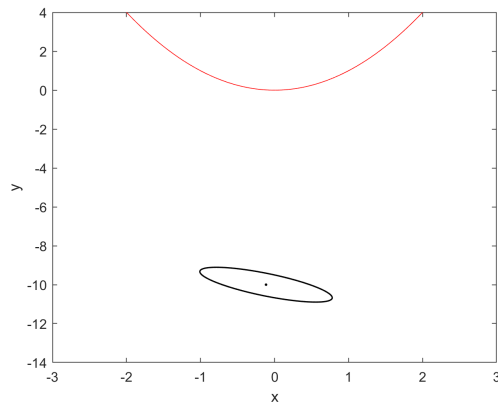
```
% Volanie funkcie
[J_opt, lv_opt, uv_opt, Log] = bi_level(obj_fun, obj_LLp, const,...
lv, uv, lb, ub, start, strategy, 'MaxIter', MaxIter, 'Tol', Tol,...
'Xi', Xi, 'G1_max', G1_max, 'Gu_max', Gu_max, 'Eps_L', Eps_L,...
'Eps_R', Eps_R, 'Eps_U', Eps_U, 'BarRuntime', BarRuntime,...
'Baronset', Baronset)
```

#### 4.1.1.3 Výsledky

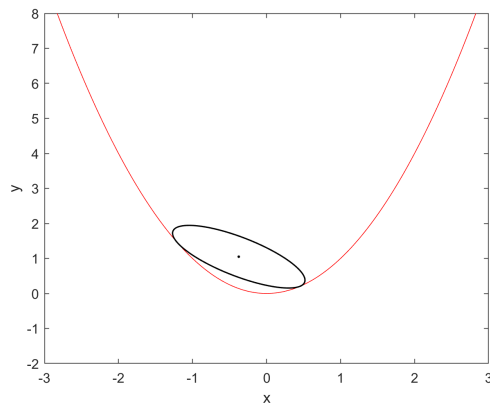
V nasledovnej tabuľke sú uvedené výsledky získané použitím jednotlivých stratégií.

Stratégia:	KKT	BF	MT
$\begin{pmatrix} x \\ y \end{pmatrix}$	$\begin{pmatrix} -0.1147 \\ -10 \end{pmatrix}$	$\begin{pmatrix} -0.3750 \\ 1.05 \end{pmatrix}$	$\begin{pmatrix} -0.3750 \\ 1.0499 \end{pmatrix}$
$\begin{pmatrix} v \\ w \end{pmatrix}$	$\begin{pmatrix} -0.4567 \\ -0.1661 \end{pmatrix}$	$\begin{pmatrix} 0.8310 \\ -0.8420 \end{pmatrix}$	$\begin{pmatrix} -0.8311 \\ 0.4046 \end{pmatrix}$
počet iterácií	—	5	18
celkový čas riešenia [s]	0.32	2.8	52.5

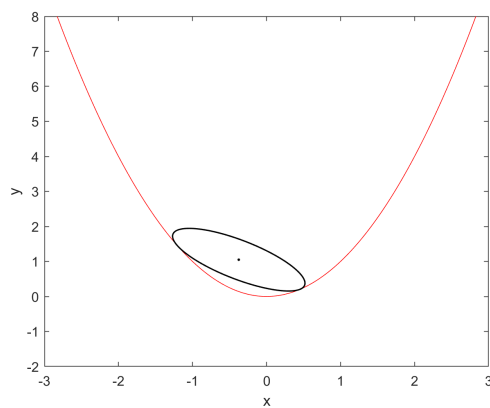
**Tabuľka 4.1:** Výsledky pre problém umiestnenia elipsy



(a) Umiestnenie elipsy pomocou KKT



(b) Umiestnenie elipsy pomocou BF



(c) Umiestnenie elipsy pomocou MT

**Obr. 4.4:** Grafické znázornenie výsledkov pre problém umiestnenia elipsy

Pomocou jednotlivých stratégií sme získali výsledky, ktoré sú zobrazené na skupine obrázkov 4.4. Algoritmy BF a MT dosiahli skoro rovnaké výsledky v ktorých úspešne umiestnili elipsu presne nad kvadratické ohraničenie. Na prvý pohľad sa javí že metódy BF a MT majú rozdielne výsledky v premenných nižšej úrovne, ale v prípade, že sa pozrieme do logov MT stratégie konkrétne Log.LBD.LLP tak zistíme, že v predchádzajúcej iterácii boli hodnoty premenných nižšej úrovne:

$$\begin{pmatrix} v \\ w \end{pmatrix} = \begin{pmatrix} 0.8310 \\ -0.8420 \end{pmatrix}$$

Čo sú rovnaké hodnoty, aké dosiahla BF stratégia v poslednej iterácii. Tento jav je spôsobený tým, že ako BF tak MT si v probléme hornej úrovne (pre MT GSIP) držia v rámci ohraničení všetky hodnoty premenných nižšej úrovne a teda po niekoľkých iteráciách problém nižšej úrovne (pre MT LLP alebo LLP-AUX) už dáva len výsledky mierne odlišné od predchádzajúcich.

Metóda založená na KKT-podmienkach nedosiahla vyhovujúce výsledky, keďže elipsa je evidentne umiestnená pod ohraničením a teda ho porušuje.

## 4.2 Problémy riešené bi\_level\_OED funkciou

Na nasledujúcich stranách je možné nájsť príklady riešenia problémov optimálneho návrhu experimentu, založených na diskretných a statických modeloch.

### 4.2.1 Optimálny návrh experimentu založený na statickom modeli

Na ukážku riešenia optimálneho návrhu experimentu pre statické modely sme si vybrali jednoduchý model s dvoma parametrami  $p_1$  a  $p_2$ .

$$x = (1 - e^{-p_2 u}) \tag{4.2a}$$

$$y = p_1 x \tag{4.2b}$$

Na základe tohoto modelu funkcia bi\_level\_OED najprv vytvorí maticu spodných a horných hraníc parametrov  $\Pi$  4.3.

$$\Pi = \begin{bmatrix} p_1^L & p_{2,p_1^L} \\ p_1^U & p_{2,p_1^U} \\ p_{1,p_2^L} & p_2^L \\ p_{1,p_2^U} & p_2^U \end{bmatrix} \quad (4.3)$$

Zaujímavé sú len hodnoty parametrov  $p_1^L, p_1^U, p_2^L$  a  $p_2^U$ , ktoré predstavujú horné a spodné hranice. Pridružené premenné  $p_{2,p_1^L}, p_{2,p_1^U}, p_{1,p_2^L}$  a  $p_{1,p_2^U}$  sú len doplnkové. V modely sa nachádza aj premenná  $u$ , ktorá predstavuje akčný zásah, aj keď v tomto konkrétnom statickom modely môže byť interpretovaná ako čas merania.

Následne sa definuje vyššia a nižšia úroveň optimalizačného problému a ohraničenia. Riešený optimalizačný problém má potom nasledovný tvar:

$$\min_{\mathbf{u}} p_1^U - p_1^L + p_2^U - p_2^L \quad (4.4a)$$

$$\max_{\Pi} p_1^U - p_1^L + p_2^U - p_2^L \quad (4.4b)$$

$$s.t. \sum_{k=1}^n \frac{(\mathbf{y}(p_1^L, p_{2,p_1^L}, \mathbf{u}_k) - \mathbf{y}_m(\mathbf{u}_k))^2}{\sigma^2} \leq \chi_{\alpha, n_p}^2 \quad (4.4c)$$

$$\sum_{k=1}^n \frac{(\mathbf{y}(p_1^U, p_{2,p_1^U}, \mathbf{u}_k) - \mathbf{y}_m(\mathbf{u}_k))^2}{\sigma^2} \leq \chi_{\alpha, n_p}^2 \quad (4.4d)$$

$$\sum_{k=1}^n \frac{(\mathbf{y}(p_{1,p_2^L}, p_2^L, \mathbf{u}_k) - \mathbf{y}_m(\mathbf{u}_k))^2}{\sigma^2} \leq \chi_{\alpha, n_p}^2 \quad (4.4e)$$

$$\sum_{k=1}^n \frac{(\mathbf{y}(p_{1,p_2^U}, p_2^U, \mathbf{u}_k) - \mathbf{y}_m(\mathbf{u}_k))^2}{\sigma^2} \leq \chi_{\alpha, n_p}^2 \quad (4.4f)$$

Ohraničenia spodnej úrovne sú tvorené funkciami príslušnosti, ktoré keď platia tak daná hodnota parametra sa pri danom vektore časov  $\mathbf{u}$  nachádza vo vnútri alebo na hranici regiónu spoľahlivosti.  $y$  a  $y_m$  sú vektory reprezentujúce odhadovaný model a merania simulované pomocou dodaných hodnôt parametrov. V prípade, že vektor akčných zásahov  $\mathbf{u}$  má dĺžku 4 vyzerá  $\mathbf{y}_m$  nasledovne:

$$\mathbf{y}_m = \begin{bmatrix} p_1(1 - e^{-p_2 u_1}) \\ p_1(1 - e^{-p_2 u_2}) \\ p_1(1 - e^{-p_2 u_3}) \\ p_1(1 - e^{-p_2 u_4}) \end{bmatrix} \quad (4.5a)$$

kde  $p_1 = 2.5$  a  $p_2 = 0.5$ .

Hodnoty výstupu  $\mathbf{y}$  získané pomocou odhadovaných parametrov  $p_1^L$  a  $p_{2,p_1^L}$  v prípade, že vektor akčných zásahov  $\mathbf{u}$  má dĺžku 4 sú definované nasledovne:

$$\mathbf{y} = \begin{bmatrix} p_1^L (1 - e^{-p_{2,p_1^L} u_1}) \\ p_1^L (1 - e^{-p_{2,p_1^L} u_2}) \\ p_1^L (1 - e^{-p_{2,p_1^L} u_3}) \\ p_1^L (1 - e^{-p_{2,p_1^L} u_4}) \end{bmatrix} \quad (4.6a)$$

#### 4.2.1.1 Definovanie vstupných parametrov

V nasledujúcej ukážke programu je kompletná definícia všetkých povinných aj voliteľných argumentov potrebných pre riešenie optimálneho návrhu experimentu založeného na statickom modeli 4.4a.

Najprv je nutné zdefinovať symbolické premenné. Pre model definujeme dva parametre  $p_1$  a  $p_2$  a napriek tomu, že chceme použiť funkciu na statický optimálny dizajn experimentu je nutné definovať počiatočnú podmienku v podobe premennej  $x_0$  a jej hodnoty  $x0\_value = 0$  aj keď nebude v tomto prípade použitá.

```
% Definuj symbolicke premenne
syms p1 p2 x0
% Definuj hodnotu pociatocnej podmienky
x0_value = 0;
```

Následne si zdefinujeme vektor akčných zásahov  $\mathbf{u}$  ako symbolický vektor, stavový model procesu v premennej `model_x` (môže byť použitý aj iný názov), ktorý musí obsahovať prvý prvok vektora akčných zásahov  $\mathbf{u}$  a výstupný model v premennej `model_y`, ktorá musí obsahovať odkaz na stavovú rovnicu v tomto prípade `model_x`.

```
% Definuj pocet krokov vybratim dlzky vektora casu u
% (stlpcovy vektor)
u = sym('u',[4 1]);
% Definuj stavovy model
% (symbolicka funkcia)
model_x = 1-exp(-p2*u(1));
% Definuj vystupny model
% (symbolicka funkcia)
model_y = p1*model_x;
```

Po definovaní modelu je nutné zdefinovať parametre do premennej `parameters` pre ktoré sa bude hľadať región spoľahlivosti a ich ideálnu hodnotu do premennej `parameters_values` na základe ktorej sa bude počítat  $\mathbf{y}_m$  4.5

```
% Definuj parametrov modelu
% (urcuje poradie v ktorom su zobrazene vysledky)
% (riadkovy symbolicky vektor)
parameters = [p1,p2];
% Definuj hodnoty parametrov modelu
% (hodnoty su naviazane na premenne na zaklade poradia)
% (riadkovy vektor)
parameters_values = [2.5,0.5];
```

Podobne ako vo funkcii bi\_level aj tu je nutné definovať spodné(lb) a horné(ub) hranice všetkých parametrov. Prvý element vektorov definuje hranice akčných zásahov, nasledujú hranice pre parametre. Program priraduje hranice k parametrom na základe pozície vo vektore parameters.

```
% Definuj spodne hranice hodnot pre vektor u a parametre
% format lb=[lb_u,lb_parameter1,lb_parameter2,...,lb_parameter(last)]
% (riadkový vektor)
lb = [0 0 0];
% Definuj horne hranice hodnot pre vektor u a parametre
% format ub=[ub_u,ub_parameter1,ub_parameter2,...,ub_parameter(last)]
% (riadkový vektor)
ub = [20 10 10];
```

Pre algoritmus MT sú potrebné štartovacie body pre hodnoty jednotlivých dvojíc parametrov. V prípade dvoch parametrov vznikajú 4 dvojice, horná a dolná hranica  $p_1$  a k nim patriace  $p_2$  a horná a dolná hranica  $p_2$  a k nim patriace  $p_1$ . Pri definícii štartovacích bodov sa neodporúča používať 0, pretože môže dôjsť ku deleniu nulou čo spôsobí pád programu.

```
% Urci startovacie hodnoty parametrov, pri inicializacii parametrov na
% nulove hodnoty moze vyskocit chyba delenie nulov, preto je
% odporucane nepouzivat nulu. (MT)
% format:
% [parameter1_low parameter_2 ... parameter_last ]
% [parameter1_up parameter_2 ... parameter_last ]
% [parameter1 parameter2_low ... parameter_last ]
% [parameter1 parameter2_up ... parameter_last ]
% [ . . . . ]
% [ . . . . ]
% [ . . . . ]
% [ . . . . ]
% [parameter1 parameter2 ... parameter_last_low ]
% [parameter1 parameter2 ... parameter_last_up ]
start = [ 0.1 0.1
          10 0.1
          0.1 0.1
          10 0.1];
```

V tomto príklade pracujeme so statickým modelom, preto do premennej `model_type` vložíme reťazec "static".

```
% Vyber typ modelu diskretny alebo staticky (discrete/static)
% (reťazec)
model_type = "static";
```

Posledným povinným argumentom je výber stratégie, ktorú si môžeme zvoliť napríklad "MT".

```
% Definuj strategiu riesenia problemu
% (reťazec)
Strategy = "MT"
```

Prvým voliteľným argumentom je podobne ako pri `bi_level` funkcii možnosť určiť maximálny počet iterácií pre MT stratégiu. Predvolená hodnota je 30.

```
% Urci maximalny pocet iteracii (MT)
% (cislo)
MaxIter = 30;
```

Definíciou  $\alpha$  je možné meniť hodnotu horného  $\alpha$  kvantilu  $\chi_{\alpha, n_p}^2$  rozdelenia pravdepodobnosti, kde  $\alpha$  predstavuje pravdepodobnosť danú natívnej MATLAB funkcii `chi2inf` na výpočet  $\chi_{\alpha, n_p}^2$ .  $\chi_{\alpha, n_p}^2$  a tým pádom aj  $\alpha$  sa vyskytuje vo funkciách príslušnosti všetkých podproblémov 2.23, 2.25 a 2.26. Predvolená hodnota je 0.95.

```
% Alpha je pravdepodobnost dana funkcii chi2inf na vypocet horného alfa
% kvantilu Chi^2 rozdelenia pravdepodobnosti
% (cislo)
Alpha = 0.95;
```



Funkcia ponúka aj možnosť meniť štandardnú odchýlku šumu merania pod premennou  $\sigma$ , ktorej predvolená hodnota je 0.1. Podobne ako  $\alpha$  aj  $\sigma$  sa vyskytuje vo funkciách príslušnosti všetkých podproblémov 2.23, 2.25 a 2.26. Predvolená hodnota je 0.1.

```
% Standardna odchylka sumu merania
% (cislo)
Sigma = 0.1;
```

Premenná Tol predstavuje prísnosť ukončovej podmienky pre MT algoritmus. Predvolená hodnota je  $1e-3$

```
% Tol urcuje prisnost uknocovacej podmienky pre algoritmi MT
% (male cislo)
Tol = 1e-4;
```

Vektor  $\xi$  a premenná BarRuntime majú rovnakú funkciu, formát a aj predvolenú hodnotu ako v prípade bi\_level funkcie.

```
% Predstavuje hodnotu koeficienta Xi v kazdej iteracii (MT=>LLP-AUX)
% Je odporucane zacat na hodnote 0.5 a postupne ju zvysovat po hodnotu 0.9
% (vektor s dlzkou MaxIter, ktora je prednastavena na 50)
% to value of 0.9
Xi = linspace(0.5,0.9,30);
% Maximalny cas behu BARON-u pre kazdu iteraciu, ak nie je nastaveny
% pouzije sa cas z Baronset-u. BarRuntime je vektor s dlzkou
% MaxIter(zakladna hodnota 50). Elementy tohoto vektora definuju
% maximalny cas behu
% BARON-u v sekundach v jednotlivych iteraciach.
% (riadkovy vektor)
BarRuntime = [ones(1,8)*200,ones(1,10)*1800,ones(1,12)*3600]
```

Pre MT algoritmus je podobne ako v prípade `bi_level` funkcie, možné definovať hodnoty maximálneho pozitívneho nadhodnotenia účelovej funkcie nižšej úrovne  $g_u^{max}$  a funkcií ohraničení  $g_{l,j}^{max}$  2.24. Predvolené hodnoty sú  $g_{l,j}^{max} = 30$  a  $g_u^{max} = 35$

```
% Nadhodnotenie maximalnej pozitivnej hodnoty ohraniceni
% problemu nizsej urovne (MT)
% (cislo)
Gl_max = 5;
% Nadhodnotenie maximalnej pozitivnej hodnoty ucelovej funkcie obj_LLP
(MT)
% (cislo)
Gu_max = 20;
```

Posledným voliteľným argumentom je štruktúra `Baronset`.

```
% Priklad definicie Baronset struktury
% (pre viackej informacii o nastaveniach baronset
% je vhodne nahliadnut do dokumentacie BARON-u,
% alebo napisat baronset v MATLABE-e )
Baronset = baronset('MaxTime',10800,'threads',8,'EpsA',1e-2 );
```

Po definovaní všetkých povinných a v tomto prípade aj voliteľných argumentov je možné funkciu `bi_level_OED` zavolať nasledovným príkazom:

```
[J_opt, U_opt, Param_opt, Log] = bi_level_OED(model_x,model_y,...
u, parameters, parameters_values, x0, x0_value, lb, ub, start,...
model_type, strategy,'MaxIter', MaxIter, 'Alpha', Alpha,...
'Sigma', Sigma, 'Tol', Tol, 'Xi', Xi, 'Gl_max', Gl_max,...
'Gu_max', Gu_max, 'BarRuntime', BarRuntime,'Baronset', Baronset)
```

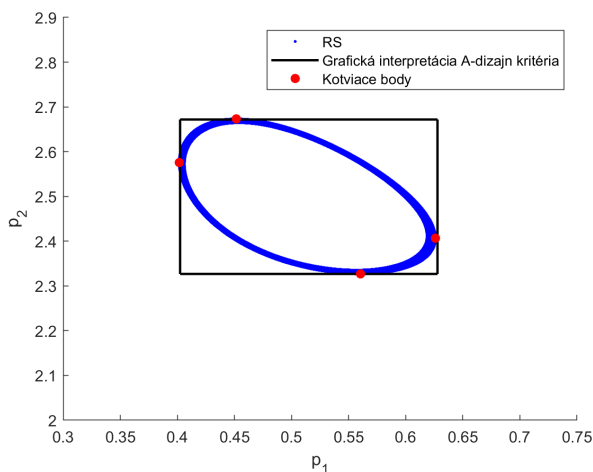
## 4.2.1.2 Výsledky

V nasledujúcej tabuľke je možné vidieť dosiahnuté výsledky.

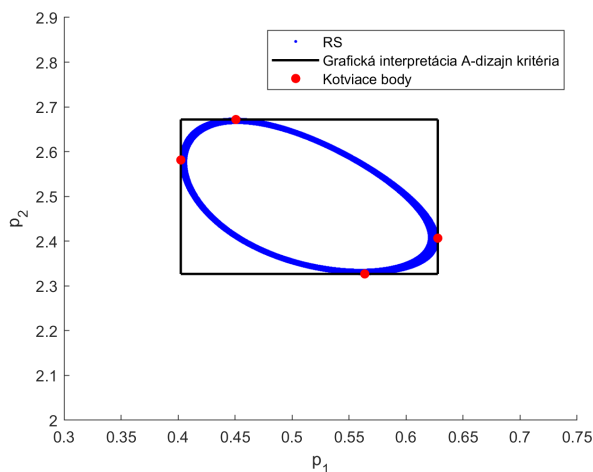
Stratégia:	KKT	MT
Hodnota účelovej funkcie	0.5708	0.5704
$\mathbf{u}$	$\begin{pmatrix} 1.6289 \\ 20.0000 \\ 1.6289 \\ 20.0000 \end{pmatrix}$	$\begin{pmatrix} 1.7620 \\ 1.8223 \\ 19.8706 \\ 19.8141 \end{pmatrix}$
$\begin{pmatrix} p_1^L \\ p_1^U \\ p_2^L \\ p_2^U \end{pmatrix}$	$\begin{pmatrix} 2.3268 \\ 2.6733 \\ 0.4017 \\ 0.6260 \end{pmatrix}$	$\begin{pmatrix} 2.3268 \\ 2.6718 \\ 0.4024 \\ 0.6278 \end{pmatrix}$
počet iterácií	—	14
celkový čas riešenia	120 min čas vypršal	61.95 min výsledok nájdený

**Tabuľka 4.2:** Výsledky optimálneho navrhovania experimentu s statickým modelom

Ako si môžeme všimnúť v prípade statického modelu rozdiel v hodnotách účelovej funkcie je veľmi malý. Zaujímavé je, že vektory časov  $\mathbf{u}$  nadobudnuté jednotlivými funkciami sa výrazne líšia a napriek tomu ich vplyv na hodnoty parametrov je približne rovnaký, to nám podáva informáciu o tom že tento problém je numericky veľmi citlivý.



**Obr. 4.5:** Región spoľahlivosti pre statický model získaný pomocou KKT programu



**Obr. 4.6:** Región spoľahlivosti pre statický model získaný pomocou MT algoritmu

Výsledkom riešenia problému optimálneho návrhu experimentu je región spoľahlivosti. Získané regióny spoľahlivosti pomocou KKT metódy a MT algoritmu je možné vidieť na obrázkoch 4.5 a 4.6. Kotviace body získané programom sú zaznačené červenou farbou, región spoľahlivosti pri danom vektore časov  $\mathbf{u}$  je označený modrou a na základe kotviacich bodov je zostrojená grafická reprezentácia A-dizajn kritéria, ktorá je označená čiernou farbou.

## 4.2.2 Optimálny návrh experimentu založený na diskretnom modeli

Diskretný model použitý na predvedenie schopností funkcie `bi_level_OED` vyzerať nasledovne:

$$x = \frac{1}{\gamma + x_0^2} + u \quad (4.7a)$$

$$y = \beta x \quad (4.7b)$$

Na základe tohoto modelu funkcia `bi_level_OED` rovnako ako v prípade statického

modelu vytvorí maticu spodných a horných hraníc parametrov  $\Pi$  4.3.

$$\Pi = \begin{bmatrix} \gamma^L & \beta_{\gamma^L} \\ \gamma^U & \beta_{\gamma^U} \\ \gamma_{\beta^L} & \beta^L \\ \gamma_{\beta^U} & \beta^U \end{bmatrix} \quad (4.8)$$

Na získanie regiónu spoľahlivosti sú potrebné parametre  $\gamma^L$ ,  $\gamma^U$ ,  $\beta^L$  a  $\beta^U$ , ktoré ohraničujú región spoľahlivosti. Doplnkové premenné  $\beta_{\gamma^L}$ ,  $\beta_{\gamma^U}$ ,  $\gamma_{\beta^L}$  a  $\gamma_{\beta^U}$  môžu by použité na vykreslenie jednotlivých kotviacich bodov.

Program následne automaticky transformuje poskytnutý model na dvojúrovňový optimalizačný problém, ktorý vyzerá nasledovne:

$$\min_{\mathbf{u}} \gamma^U - \gamma^L + \beta^U - \beta^L \quad (4.9a)$$

$$\max_{\Pi} \gamma^U - \gamma^L + \beta^U - \beta^L \quad (4.9b)$$

$$s.t. \sum_{k=1}^n \frac{(\mathbf{y}(\gamma^L, \beta_{\gamma^L}, \mathbf{u}_k) - \mathbf{y}_m(\mathbf{u}_k))^2}{\sigma^2} \leq \chi_{\alpha, n_p}^2 \quad (4.9c)$$

$$\sum_{k=1}^n \frac{(\mathbf{y}(\gamma^U, \beta_{\gamma^U}, \mathbf{u}_k) - \mathbf{y}_m(\mathbf{u}_k))^2}{\sigma^2} \leq \chi_{\alpha, n_p}^2 \quad (4.9d)$$

$$\sum_{k=1}^n \frac{(\mathbf{y}(\gamma_{\beta^L}, \beta^L, \mathbf{u}_k) - \mathbf{y}_m(\mathbf{u}_k))^2}{\sigma^2} \leq \chi_{\alpha, n_p}^2 \quad (4.9e)$$

$$\sum_{k=1}^n \frac{(\mathbf{y}(\gamma_{\beta^U}, \beta^U, \mathbf{u}_k) - \mathbf{y}_m(\mathbf{u}_k))^2}{\sigma^2} \leq \chi_{\alpha, n_p}^2 \quad (4.9f)$$

Ohraničenia spodnej úrovne sú tvorené funkciami príslušnosti, ktoré keď platia tak daná hodnota parametra sa pri danom vektore akčných zásahov  $\mathbf{u}$  nachádza vo vnútri alebo na hranici regiónu spoľahlivosti.  $\mathbf{y}$  a  $\mathbf{y}_m$  sú vektory reprezentujúce odhadovaný model a merania simulované pomocou dodaných hodnôt parametrov. V prípade, že vektor akčných zásahov  $\mathbf{u}$  má dĺžku 4 vyzerá  $\mathbf{y}_m$  nasledovne:

$$\mathbf{y}_m = \begin{bmatrix} \beta\left(\frac{1}{\gamma+x_0^2} + u\right) \\ \beta\left(\frac{1}{\gamma+\left(\frac{1}{\gamma+x_0^2}+u_1\right)^2} + u_2\right) \\ \beta\left(\frac{1}{\gamma+\left(\frac{1}{\gamma+\left(\frac{1}{\gamma+x_0^2}+u_1\right)^2}+u_2\right)^2} + u_3\right) \\ \beta\left(\frac{1}{\gamma+\left(\frac{1}{\gamma+\left(\frac{1}{\gamma+\left(\frac{1}{\gamma+x_0^2}+u_1\right)^2}+u_2\right)^2}+u_3\right)^2} + u_4\right) \end{bmatrix} \quad (4.10a)$$

kde  $\gamma = 2$  a  $\beta = 0.8$

$\mathbf{y}$  pre parametre  $\gamma^L$  a  $\beta_{\gamma^L}$  má potom podobu:

$$\mathbf{y} = \begin{bmatrix} \beta_{\gamma^L} \left( \frac{1}{\gamma^L + x_0^2} + u \right) \\ \beta_{\gamma^L} \left( \frac{1}{\gamma^L + \left( \frac{1}{\gamma^L + x_0^2} + u_1 \right)^2} + u_2 \right) \\ \beta_{\gamma^L} \left( \frac{1}{\gamma^L + \left( \frac{1}{\gamma^L + \left( \frac{1}{\gamma^L + x_0^2} + u_1 \right)^2} + u_2 \right)^2} + u_3 \right) \\ \beta_{\gamma^L} \left( \frac{1}{\gamma^L + \left( \frac{1}{\gamma^L + \left( \frac{1}{\gamma^L + \left( \frac{1}{\gamma^L + x_0^2} + u_1 \right)^2} + u_2 \right)^2} + u_3 \right)^2} + u_4 \right) \end{bmatrix} \quad (4.11a)$$

#### 4.2.2.1 Definovanie vstupných parametrov

V nasledujúcej ukážke programu je kompletná definícia všetkých povinných aj voliteľných argumentov potrebných pre riešenie optimalneho návrhu experimentu založeného na diskretnom modeli 4.9a. Pre diskretné modely je odporúčané používať MT stratégiu, keďže vytvorenie gradientu Lagrangeovej funkcie 2.11b je výpočtovo náročné a aj pri úspešnom vytvorení gradientu, môže dôjsť ku chybe pri transformácii týchto ohraňení do pracovného formátu BARON-u, čo môže spôsobiť pád programu.

Mnohé premenné sú zadefinované úplne rovnakým spôsobom ako v prípade optimalneho návrhu experimentu so statickým modelom 4.2.1.1.

Najprv je nutné definovať symbolické premenné parametrov a počiatocnej podmienky  $x_0$ , keďže ideme použiť diskretný model tak počiatocná podmienka a jej hodnota je riadne použitá programom v rovniciach 4.10 a 4.11.

```
% Definuj symbolicke premenne
syms gama, beta, x0
% Definuj hodnotu pociatocnej podmienky
x0_value = 0;
```

Vektor akčných zásahov  $u$  a výstupný model `model_y` sú definované podobným spôsobom ako pri statickom modeli. Stavový model `model_x` v sebe musí mať prvý prvok vektora akčných zásahov  $u$  a počiatočnú podmienku  $x_0$

```
% Definuj pocet krokov vybratim dlzky vektora casu u
% (stlpcovy vektor)
u = sym('u',[4 1]);
% Definuj stavovy model
% Vo stavovom modeli sa musi nachadzat prvý prvok vektora u
% (symbolicka funkcia)
model_x = 1/(gama+x0^2)+u(1);
% Definuj vystupny model
% (symbolicka funkcia)
model_y = beta*model_x;
```

Rovnako je nutné definovať program, ktoré premenné sú parametrami a ich hodnotu pre  $y_m$  4.10.

```
% Definuj parametrov modelu
% (urcuje poradie v ktorom su zobrazene vysledky)
% (riadkovy symbolicky vektor)
parameters = [beta,gama];
% Definuj hodnoty parametrov modelu
% (hodnoty su naviazane na premenne na zaklade poradia)
% (riadkovy vektor)
parameters_values = [2,0.8];
```

BARON si vyžaduje mať definované horné a dolné hranice všetkých optimalizovaných parametrov.

```
% Definuj spodne hranice hodnot pre vektor u a parametre
% format lb=[lb_u,lb_parameter1,lb_parameter2,...,lb_parameter(last)]
% (riadkovy vektor)
lb = [-1 0 0];
% Definuj horne hranice hodnot pre vektor u a parametre
% format ub=[ub_u,ub_parameter1,ub_parameter2,...,ub_parameter(last)]
% (riadkovy vektor)
ub = [1 10 10];
```

MT stratégia si vyžaduje štartovacie hodnoty dvojíc parametrov vo formáte 2.3

```
% Urci startovacie hodnoty parametrov, pri inicializacii parametrov na
% nulove hodnoty moze vyskocit chyba delenie nulov, preto je
% odporucane nepouzivat nulu. (MT)
% format:
% [parameter1_low parameter_2 ... parameter_last ]
% [parameter1_up parameter_2 ... parameter_last ]
% [parameter1 parameter2_low ... parameter_last ]
% [parameter1 parameter2_up ... parameter_last ]
% [ . . . . ]
% [ . . . . ]
% [ . . . . ]
% [ . . . . ]
% [parameter1 parameter2 ... parameter_last_low ]
% [parameter1 parameter2 ... parameter_last_up ]
start = [1.1322 0.6811
         4.2460 0.9244
         1.3256 0.6377
         3.3167 0.9837];
```

V tomto príklade pracujeme s diskretným modelom a tak `model_type` má hodnotu “discrete”

```
% Vyber typ modelu diskretny alebo staticky (discrete/static)
% (retazec)
model_type = "discrete";
```

Pre diskretné modely je odporúčané používať MT stratégiu, pretože KKT môže mať problémy spôsobené tvorbou a prekladom gradientu Lagrangeovej funkcie do BARON-u.

```
% Definuj strategiu riesenia problemu
% (retazec)
Strategy = "MT"
```



Voliteľné argumenty sú rovnaké ako v prípade statického modelu.

```
% Urci maximalny pocet iteracii (MT and BF)
% (cislo)
MaxIter = 30;
% Alpha je pravdepodobnost dana funkciou chi2inf na vypocet horneho alfa
% kvantilu Chi^2 rozdelenia pravdepodobnosti
% (cislo)
Alpha = 0.95;
% Standardna odchylka sumy merania
% (cislo)
Sigma = 0.1;
% Tol urcuje prisnost uknocovacej podmienky pre algoritmi BF a MT
% (male cislo)
Tol = 1e-4;
% Predstavuje hodnotu koeficienta Xi v kazdej iteracii (MT=>LLP-AUX)
% Je odporucane zacat na hodnote 0.5 a postupne ju zvysovat po hodnotu 0.9
% (vektor s dlzkou MaxIter, ktora je prednastavena na 50)
Xi = linspace(0.5,0.9,30);
% Nadhodnotenie maximalnej pozitivnej hodnoty
% funkcie ohraniceni (MT)
% (cislo)
Gl_max = 5;
% Nadhodnotenie maximalnej pozitivnej hodnoty
% ucelovej funkcie obj_LLP (MT)
% (cislo)
Gu_max = 20;
% Elementy tohoto vektora definuju maximalny cas behu
% BARON-u v sekundach v jednotlivych iteraciach, ak nie je nastaveny
% pouzije sa cas z Baronset-u.
% (riadkovy vektor s dlzkou MaxIter(prednastavena 50))
BarRuntime = [ones(1,8)*200,ones(1,10)*300,ones(1,12)*1200]
% Priklad definicie Baronset struktury
% (pre viac informacii o nastaveniach baronset
% je vhodné nahliadnuť do dokumentácie BARON-u,
% alebo napísať baronset v MATLABE-e )
Baronset = baronset('MaxTime',10800,'threads',8,'EpsA',1e-2 );
```

Po zadenovaní všetkých povinných a v našom príklade aj voliteľných argumentov môžeme funkciu zavolať nasledovným príkazom.

```
[J_opt, U_opt, Param_opt, Log] = bi_level_OED(model_x,model_y,u,...
parameters, parameters_values,x0,x0_value,lb,ub,start,model_type,...
strategy,'MaxIter',MaxIter,'Alpha',Alpha,'Sigma',Sigma,'Tol',Tol,...
'Xi',Xi,'Gl_max',Gl_max,'Gu_max',Gu_max,'BarRuntime',BarRuntime,...
'Baronset',Baronset)
```

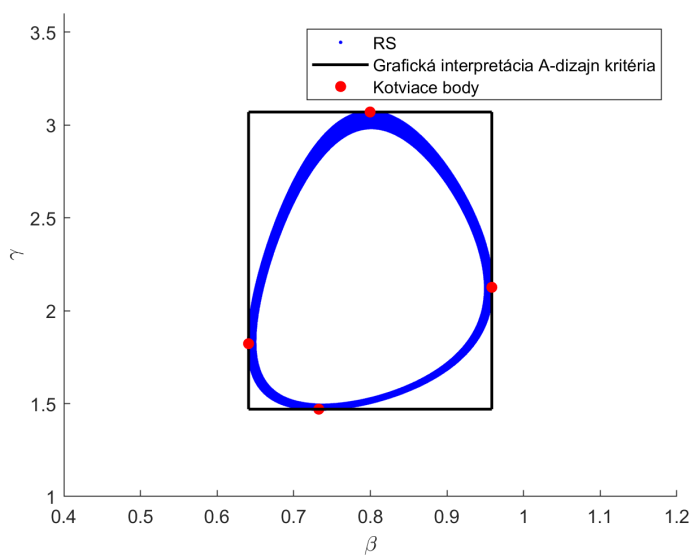
#### 4.2.2.2 Výsledky

Napriek tomu že použitý diskretný model je silne nelineárny Mitsos-Tsoukalasov algoritmus bol schopný v 15 iteráciách, dosiahnuť optimálny návrh experimentu.

Stratégia:	MT
Hodnota účelovej funkcie	1.9175
$u$	$\begin{pmatrix} -0.3395 \\ -0.9243 \\ -0.8965 \\ 1 \end{pmatrix}$
$\begin{pmatrix} \gamma_L \\ \gamma_U \\ \beta_L \\ \beta_U \end{pmatrix}$	$\begin{pmatrix} 1.4701 \\ 3.0702 \\ 0.6411 \\ 0.9585 \end{pmatrix}$
počet iterácií	15
celkový čas riešenia [min]	53.8

**Tabuľka 4.3:** Výsledky optimálneho návrhu experimentu s diskretným modelom

Výsledky získané MT-algoritmom sú zhrnuté v tabuľke 4.3. Na nasledovnom obrázku si môžeme všimnúť grafickú reprezentáciu regiónu spoľahlivosti, kotviacich bodov A-dizajn kritéria.



**Obr. 4.7:** Región spoľahlivosti pre diskretný model získaný pomocou MT programu

Bohužiaľ výsledky dosiahnuté KKT-metódou na porovnanie nie sú k dispozícii, pretože pri transformovaní gradientu Lagrangeovej funkcie do natívneho BARON-ovho formátu dôjde ku chybe, ktorá môže byť spôsobená náročnosťou parsovania funkcií ohraničení.



Cielom tejto práce bolo zostrojiť funkcie `bi_level` a `bi_level_OED` v programovacom prostredí MATLAB s využitím rozhrania s globálnym riešiteľom optimalizačných problémov BARON, ktoré sú schopné riešiť vybrané všeobecné typy optimalizačných problémov a problém optimalneho návrhu experimentu založenom na diskretnom alebo statickom modeli systému.

Funkcia `bi_level` poskytuje tri stratégie riešenia optimalizačných problémov a to prístup založený na pretvorení dvojúrovňového problému na jednu úroveň pomocou Karush-Kuhn-Tuckerových podmienok optimality, Blankenship-Falkov algoritmus založený na pridávaní dodatočných ohraničení do problému vyššej úrovne a Mitsos-Tsoukalasov algoritmus, ktorý predstavuje vylepšenú verziu Blankenship-Falkovho algoritmu.

Na riešenie problému optimalneho návrhu experimentu je k dispozícii funkcia `bi_level_OED`, ktorá na základe poskytnutého modelu vytvorí celý optimalizačný problém, ktorý je možné riešiť buď transformáciou na jednoúrovňový program Karush-Kuhn-Tuckerovými podmienkami optimality, alebo Mitsos-Tsoukalasovým algoritmom, upraveným pre potreby optimalneho návrhu experimentu.

Súčastou práce je aj kompletná dokumentácia k poskytnutým funkciám, kde je podrobne rozobraté aké sú vstupné argumenty do jednotlivých programov a čo predstavujú pre danú funkciu, v akom formáte sú vyprodukované výsledky a čo predstavujú. V dokumentácii je možné nájsť aj stromovú štruktúru jednotlivých funkcií, ktorá poukazuje na podfunkcie, ktoré sú nevyhnutné pre fungovanie daných programov. Pre obe hlavné funkcie bola aj zvlášť vytvorená dokumentácia v angličtine vo formáte html, v ktorej je na príkladoch ukázané ako sa dajú poskytnuté funkcie použiť.

V poslednej časti sú riešené 3 ukážkové príklady dvojúrovňových problémov. Jeden sa venuje všeobecnému tvaru a dva riešia problém optimalneho návrhu experimentu s diskretným a statickým modelom. V prvom riešenom príklade sa snažíme umiestniť elipsu

určitých rozmerov a naklonenia nad kvadratické ohraničenie. Úspešne sa to podarilo stratégiám založeným na Blankenship-Falkovom a Mitsos-Tsoukalasovom algoritme. Použitie Karush-Kuhn-Tuckerových podmienok optimality a následná transformácia problému na jednu úroveň nevedla ku vhodným výsledkom.

Druhý príklad sa venoval optimálnemu návrhu experimentu založenom na statickom modeli procesu. Problém bol vyriešený obomi dostupnými stratégiami s veľmi podobnými výsledkami účelových funkcií aj keď s veľmi rozdielnymi výslednými vektormi akčných zásahov  $\mathbf{u}$ . Toto mohlo byť spôsobené veľkou numerickou citlivosťou problému.

V poslednom príklade bol riešený optimálny návrh experimentu založený na nelineárnom diskretnom modeli. Tento príklad bol úspešne vyriešený iba Mitsos-Tsoukalasovým algoritmom. Metóda založená na Karush-Kuhn-Tuckerových podmienkach optimality, narazila na problém pri preklade funkcie z MATLAB-u do BARON-u a teda problém nebol riešiteľný.

Výpočtová náročnosť jednotlivých metód stúpa nasledovne KKT, BF a MT avšak toto poradie je skôr orientačné než, že by malo byť pravidlom. Ako si môžeme všimnúť v prípade optimálneho návrhu experimentu so statickým modelom tam KKT metóda potrebovala výrazne viac času ako MT, ale v prípade minimalizácie y súradnice elipsy MT metóda potrebovala viac času ako KKT.

Balík funkcií v aktuálnom stave má stále priestor pre niekoľko zlepšení. Napríklad rozšírenie balíka o ďalšie stratégie riešenia dvojúrovňových optimalizačných problémov. Rovnako by mohlo byť zaujímavé rozšírenie štandardnej definície optimalizačných problémov použitej v tejto práci a vo funkciách o ohraničenia v tvare rovnosti pre problém nižšej úrovne a o ohraničenia v tvare nerovnosti a rovnosti pre problém vyššej úrovne. Rozšírenie problému optimálneho návrhu experimentu aj na systémy s dvoma a viacerými stavmi a výstupmi je ďalšia s možnosťí vylepšenia tohoto balíka.

# Literatúra

- [1] J. W. Blankenship and J. E. Falk. Infinitely constrained optimization problems. *Journal of Optimization Theory and Applications* 19 (2), pages 261–281, 1976.
- [2] I. Constantin and M. Florian. Optimizing frequencies in a transit network: a non-linear bi-level programming approach. *International Transactions in Operational Research*, pages 149–164, 1995.
- [3] J.-P. Côté, P. Marcotte, and G. Savard. A bilevel modeling approach to pricing and fare optimization in the airline industry. journal of revenue and pricing management. *Journal of Revenue and Pricing Management*, pages 23–36, 2003.
- [4] B. Y. Kara and V. Verter. Designing a road network for hazardous materials transportation. *Transportation Science*, pages 188–196, 2004.
- [5] C. Kolstad and L. Lasdon. Derivative evaluation and computational experience with large bilevel mathematical programs. *Journal of Optimization Theory and Applications*, pages 485–499, 1990.
- [6] L. J. LeBlanc. Mathematical programming algorithms for large scale network equilibrium and network design problems. phd thesis. *Northwestern University, Evanston, Illinois*, 1973.
- [7] P. Marcotte. Network design problem with congestion effects: a case of bilevel programming. *Mathematical Programming*, pages 23–36, 1986.
- [8] A. Mitsos and A. Tsoukalas. Global optimization of generalized semi-infinite programs via restriction of the right hand side. *Journal Global Optimization* 61 (1), pages 1–17, 4 March 2018.
- [9] G. Savard and J. Gauvin. The steepest descent direction for the nonlinear bilevel programming problem. *Operations Research Letters*, 15, pages 275–282, 1994.
- [10] H. F. v. Stackelberg. *Market Structure and Equilibrium*. 1934.

- [11] H. F. v. Stackelberg. *The theory of market economy*. Oxford University Press, 1952.
- [12] L. Vicente, G. Savard, and J. Júdice. Descent approaches for quadratic bilevel programming. *Journal of Optimization Theory and Applications* 81, pages 379–399, 1994.
- [13] O. Walz, H. Djelassi, A. Caspari, and A. Mitsos. Bounded-error optimal experimental design via global solution of constrained min-max program. *Computers and Chemical Engineering Volume 111*, pages 92–101, 4 March 2018.